

CIV 2802 – Sistemas Gráficos para Engenharia – 2008.1

Luiz Fernando Martha

Condutividade Térmica 2D

Método das Diferenças Finitas – Técnica de Direções Alternadas

Parâmetros do modelo

$u \rightarrow$ temperatura [°C]

$k \rightarrow$ condutividade térmica (considerado meio homeônico) [W/(m °C)]

$\rho \rightarrow$ densidade do material (massa específica) [kg/m³]

$C_p \rightarrow$ calor específico [J/kg °C]

$$\alpha = \frac{k}{\rho \cdot C_p} \rightarrow \text{difusividade térmica [m}^2/\text{s}]$$

$h \rightarrow$ coeficiente de transferência de calor com o meio externo [W/(m² °C)]

$e \rightarrow$ espessura do meio bidimensional [m]

$Lx \rightarrow$ dimensão horizontal da placa (meio bidimensional) [m]

$Ly \rightarrow$ dimensão vertical da placa (meio bidimensional) [m]

Lei de Fourier

(fluxo térmico é taxa de energia por unidade de área)

$qx = -k \cdot \partial u / \partial x \rightarrow$ fluxo térmico na direção x [W/m²]

$qy = -k \cdot \partial u / \partial y \rightarrow$ fluxo térmico na direção y [W/m²]

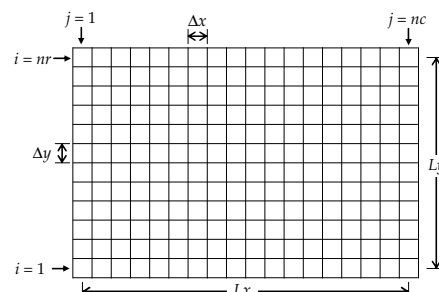
Parâmetros da malha

$nr \rightarrow$ número de linhas (rows) do grid

$nc \rightarrow$ número de colunas do grid

$\Delta x = Lx / (nc - 1) \rightarrow$ tamanho do lado da célula na direção x [m]

$\Delta y = Ly / (nr - 1) \rightarrow$ tamanho do lado da célula na direção y [m]



Condições de contorno

$u(x=0,y) = ul \rightarrow$ temperatura constante prescrita no bordo esquerdo; ou

$qx(x=0,y) = ql \rightarrow$ fluxo de calor radiativo constante prescrito no bordo esquerdo; ou

$qx(x=0,y) = hl \cdot [u(x=0,y) - ul] \rightarrow$ troca de calor por convecção no bordo esquerdo

$u(x=Lx,y) = ur \rightarrow$ temperatura constante prescrita no bordo direito; ou

$qx(x=Lx,y) = qr \rightarrow$ fluxo de calor radiativo constante no bordo direito; ou

$qx(x=Lx,y) = hr \cdot [u(x=Lx,y) - ur] \rightarrow$ troca de calor por convecção no bordo direito

$u(x,y=0) = ub \rightarrow$ temperatura constante prescrita no bordo inferior; ou

$qy(x,y=0) = qb \rightarrow$ fluxo de calor radiativo constante no bordo inferior; ou

$qy(x,y=0) = hb \cdot [u(x,y=0) - ub] \rightarrow$ troca de calor por convecção no bordo inferior

$u(x,y=Ly) = ut \rightarrow$ temperatura constante prescrita no bordo superior; ou

$qy(x,y=Ly) = qt \rightarrow$ fluxo de calor radiativo constante no bordo superior; ou

$qy(x,y=Ly) = ht \cdot [u(x,y=Ly) - ut] \rightarrow$ troca de calor por convecção no bordo superior

Fonte de calor

$s \rightarrow$ fonte de calor uniformemente distribuída por área [W/m²]

Balanço de energia térmica em uma célula da malha:

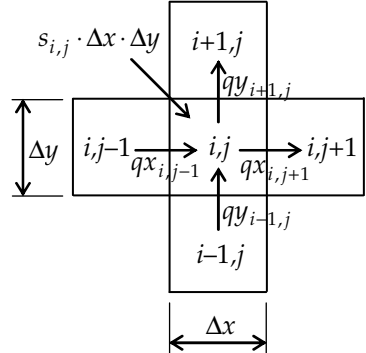
(a célula é um volume de controle; convenção: calor que entra na célula é positivo)

$$[\text{Taxa com que energia entra na célula}] + [\text{Taxa de geração de energia dentro da célula (considerada nula)}] = [\text{Taxa com que energia sai da célula}] + [\text{Taxa de armazenamento de energia dentro da célula}]$$

$$\begin{aligned} & \left[qx_{i,j-1} \cdot \Delta y \cdot e + qy_{i-1,j} \cdot \Delta x \cdot e + s_{i,j} \cdot \Delta x \cdot \Delta y \right] + [0] = \\ & \left[qx_{i,j+1} \cdot \Delta y \cdot e + qy_{i+1,j} \cdot \Delta x \cdot e \right] + \left[\rho \cdot C_P \cdot \Delta x \cdot \Delta y \cdot e \cdot \frac{\partial u}{\partial t} \right] \end{aligned}$$

$$qx_{i,j-1} \cdot \Delta y \cdot e - qx_{i,j+1} \cdot \Delta y \cdot e + qy_{i-1,j} \cdot \Delta x \cdot e - qy_{i+1,j} \cdot \Delta x \cdot e = \\ \rho \cdot C_p \cdot \Delta x \cdot \Delta y \cdot e \cdot \frac{\partial u}{\partial t} - s_{i,j} \cdot \Delta x \cdot \Delta y$$

Usando a Lei de Fourier e a aproximação de derivadas em diferenças finitas:
 $(qx \equiv -k \cdot \Delta u / \Delta x; \quad qy \equiv -k \cdot \Delta u / \Delta y)$



$$\left(-k \cdot \Delta y \cdot e \cdot \frac{u_{i,j} - u_{i,j-1}}{\Delta x} \right) - \left(-k \cdot \Delta y \cdot e \cdot \frac{u_{i,j+1} - u_{i,j}}{\Delta x} \right) + \left(-k \cdot \Delta x \cdot e \cdot \frac{u_{i,j} - u_{i-1,j}}{\Delta y} \right) - \left(-k \cdot \Delta x \cdot e \cdot \frac{u_{i+1,j} - u_{i,j}}{\Delta y} \right) = \\ \rho \cdot C_p \cdot \frac{\partial u}{\partial t} \cdot \Delta x \cdot \Delta y \cdot e - s_{i,j} \cdot \Delta x \cdot \Delta y$$

$$[\div(k \cdot \Delta x \cdot \Delta y \cdot e)] \Rightarrow \frac{u_{i,j-1} - 2u_{i,j} + u_{i,j+1}}{\Delta x^2} + \frac{u_{i-1,j} - 2u_{i,j} + u_{i+1,j}}{\Delta y^2} = \frac{\rho \cdot C_p}{k} \cdot \frac{\partial u}{\partial t} - \frac{s_{i,j}}{k \cdot e}$$

$$\Rightarrow \frac{u_{i,j-1} - 2u_{i,j} + u_{i,j+1}}{\Delta x^2} + \frac{u_{i-1,j} - 2u_{i,j} + u_{i+1,j}}{\Delta y^2} = \frac{1}{\alpha} \cdot \frac{\partial u}{\partial t} - \frac{s_{i,j}}{k \cdot e}$$

Solução implícita da resposta transiente:

Considerando que os valores de temperatura em todos os pontos são conhecidos em um passo de tempo genérico (m), a aproximação da solução para o passo seguinte de tempo ($m+1$) resulta em um sistema de equações para solução no passo $m+1$, cuja matriz de coeficientes tem um formato “penta-diagonal” simétrico:

Esse sistema pode ser resolvido por métodos diretos (eliminação de Gauss, método de Cholesky, etc.) ou por métodos iterativos. Essa solução pode ser lenta do ponto de vista computacional se a malha for muito grande. Uma alternativa é a Técnica de Direções Alternadas que vai ser mostrada a seguir.

Técnica de Direções Alternadas

Ref.: Frind, E.O., *Groundwater Modelling (Numerical Methods)*, Lecture Notes Earth 456/656, Department of Earth Sciences, University of Waterloo, 1995.

1 – Resolvendo em x: (primeiro sub-passo no tempo $m+1$)

$$\frac{u_{i,j-1}^{m+1} - 2u_{i,j}^{m+1} + u_{i,j+1}^{m+1}}{\Delta x^2} + \frac{u_{i-1,j}^m - 2u_{i,j}^m + u_{i+1,j}^m}{\Delta y^2} = \frac{1}{\alpha} \cdot \frac{u_{i,j}^{m+1}}{\Delta t} - \frac{1}{\alpha} \cdot \frac{u_{i,j}^m}{\Delta t} - \frac{s_{i,j}^m}{k \cdot e}$$

↑ ↑ ↑
desconhecido considerado igual desconhecido
ao do passo anterior

$$\Rightarrow u_{i,j-1}^{m+1} - 2u_{i,j}^{m+1} + u_{i,j+1}^{m+1} - \frac{1}{\alpha} \cdot \frac{u_{i,j}^{m+1}}{\Delta t} \cdot \Delta x^2 = - \frac{(u_{i-1,j}^m - 2u_{i,j}^m + u_{i+1,j}^m)}{\Delta y^2} \cdot \Delta x^2 - \frac{1}{\alpha} \cdot \frac{u_{i,j}^m}{\Delta t} \cdot \Delta x^2 - \frac{s_{i,j}^m}{k \cdot e} \cdot \Delta x^2$$

1.1 – Solução da linha genérica ($i = 2 : nr - 1$)

1.1.1 – Caso geral (células do interior da linha)

Adotando $r_x = \frac{\alpha \cdot \Delta t}{\Delta x^2}$, $f_x = \frac{\Delta x^2}{\Delta y^2}$ e $\lceil x(-1) \rceil \Rightarrow$

$$(i = 2 : nr - 1) (j = 2 : nc - 1) \rightarrow -u_{i,j-1}^{m+1} + \left(2 + \frac{1}{r_x}\right) \cdot u_{i,j}^{m+1} - u_{i,j+1}^{m+1} = f_x \cdot u_{i-1,j}^m + \left(\frac{1}{r_x} - 2f_x\right) \cdot u_{i,j}^m + f_x \cdot u_{i+1,j}^m + \frac{s_{i,j}^m}{k \cdot e} \cdot \Delta x^2$$

1.1.2 – Condições de contorno no bordo esquerdo

1.1.2.1 – Condição de contorno de temperatura constante prescrita no bordo esquerdo

$$(i = 2 : nr - 1) (j = 1) \rightarrow u_{i,1} = ul$$

1.1.2.2 – Condição de contorno de fluxo de calor radiativo constante prescrito no bordo esquerdo

$$qx = -k \cdot \frac{du}{dx} \cdot n_x \rightarrow qx_{i,1} \equiv -k \cdot \frac{u_{i,2} - u_{i,0}}{2\Delta x} \cdot (-1) = ql \rightarrow u_{i,0} = u_{i,2} - ql \cdot \frac{2\Delta x}{k}$$

$$-u_{i,0}^{m+1} + \left(2 + \frac{1}{r_x}\right) \cdot u_{i,1}^{m+1} - u_{i,2}^{m+1} = f_x \cdot u_{i-1,1}^m + \left(\frac{1}{r_x} - 2f_x\right) \cdot u_{i,1}^m + f_x \cdot u_{i+1,1}^m + \frac{s_{i,1}^m}{k \cdot e} \cdot \Delta x^2 \Rightarrow$$

$$-\left(u_{i,2}^{m+1} - ql \cdot \frac{2\Delta x}{k}\right) + \left(2 + \frac{1}{r_x}\right) \cdot u_{i,1}^{m+1} - u_{i,2}^{m+1} = f_x \cdot u_{i-1,1}^m + \left(\frac{1}{r_x} - 2f_x\right) \cdot u_{i,1}^m + f_x \cdot u_{i+1,1}^m + \frac{s_{i,1}^m}{k \cdot e} \cdot \Delta x^2 \Rightarrow$$

$$(i = 2 : nr - 1) (j = 1) \rightarrow \left(2 + \frac{1}{r_x}\right) \cdot u_{i,1}^{m+1} - 2u_{i,2}^{m+1} = f_x \cdot u_{i-1,1}^m + \left(\frac{1}{r_x} - 2f_x\right) \cdot u_{i,1}^m + f_x \cdot u_{i+1,1}^m + \frac{s_{i,1}^m}{k \cdot e} \cdot \Delta x^2 - ql \cdot \frac{2\Delta x}{k}$$

1.1.2.3 – Condição de contorno de troca de calor por convecção no bordo esquerdo

$$qx = -k \cdot \frac{du}{dx} \cdot n_x = hl \cdot (u - ul) \rightarrow -k \cdot \frac{u_{i,2} - u_{i,0}}{2\Delta x} \cdot (-1) = hl \cdot (u_{i,1} - ul) \rightarrow u_{i,0} = -\frac{2\Delta x \cdot hl}{k} \cdot u_{i,1} + u_{i,2} + \frac{2\Delta x \cdot hl}{k} \cdot ul \Rightarrow$$

$$-\left(-\frac{2\Delta x \cdot hl}{k} \cdot u_{i,1}^{m+1} + u_{i,2}^{m+1} + \frac{2\Delta x \cdot hl}{k} \cdot ul\right) + \left(2 + \frac{1}{r_x}\right) \cdot u_{i,1}^{m+1} - u_{i,2}^{m+1} = f_x \cdot u_{i-1,1}^m + \left(\frac{1}{r_x} - 2f_x\right) \cdot u_{i,1}^m + f_x \cdot u_{i+1,1}^m + \frac{s_{i,1}^m}{k \cdot e} \cdot \Delta x^2 \Rightarrow$$

$$(i = 2 : nr - 1) (j = 1) \rightarrow \left(2 + \frac{1}{r_x} + \frac{2\Delta x \cdot hl}{k}\right) \cdot u_{i,1}^{m+1} - 2u_{i,2}^{m+1} = f_x \cdot u_{i-1,1}^m + \left(\frac{1}{r_x} - 2f_x\right) \cdot u_{i,1}^m + f_x \cdot u_{i+1,1}^m + \frac{s_{i,1}^m}{k \cdot e} \cdot \Delta x^2 + \frac{2\Delta x \cdot hl}{k} \cdot ul$$

1.1.3 – Condições de contorno no bordo direito

1.1.3.1 – Condição de contorno de temperatura constante prescrita no bordo direito

$$(i = 2 : nr - 1) (j = nc) \rightarrow u_{i,nc} = ur$$

1.1.3.2 – Condição de contorno de fluxo de calor radiativo constante prescrito no bordo direito

$$\begin{aligned}
qx = -k \cdot \frac{du}{dx} \cdot n_x &\rightarrow qx_{i,nc} \equiv -k \cdot \frac{u_{i,nc+1} - u_{i,nc-1}}{2\Delta x} \cdot (+1) = qr \rightarrow u_{i,nc+1} = u_{i,nc-1} - qr \cdot \frac{2\Delta x}{k} \\
-u_{i,nc-1}^m + \left(2 + \frac{1}{r_x}\right) \cdot u_{i,nc}^{m+1} - u_{i,nc+1}^m &= f_x \cdot u_{i-1,nc}^m + \left(\frac{1}{r_x} - 2f_x\right) \cdot u_{i,nc}^m + f_x \cdot u_{i+1,nc}^m + \frac{s_{i,nc}^m}{k \cdot e} \cdot \Delta x^2 \Rightarrow \\
-u_{i,nc-1}^m + \left(2 + \frac{1}{r_x}\right) \cdot u_{i,nc}^{m+1} - \left(u_{i,nc-1}^m - qr \cdot \frac{2\Delta x}{k}\right) &= f_x \cdot u_{i-1,nc}^m + \left(\frac{1}{r_x} - 2f_x\right) \cdot u_{i,nc}^m + f_x \cdot u_{i+1,nc}^m + \frac{s_{i,nc}^m}{k \cdot e} \cdot \Delta x^2 \Rightarrow \\
(i=2 : nr-1) \quad (j=nc) &\rightarrow \boxed{-2u_{i,nc-1}^m + \left(2 + \frac{1}{r_x}\right) \cdot u_{i,nc}^{m+1} = f_x \cdot u_{i-1,nc}^m + \left(\frac{1}{r_x} - 2f_x\right) \cdot u_{i,nc}^m + f_x \cdot u_{i+1,nc}^m + \frac{s_{i,nc}^m}{k \cdot e} \cdot \Delta x^2 - qr \cdot \frac{2\Delta x}{k}}
\end{aligned}$$

1.1.3.3 – Condição de contorno de troca de calor por convecção no bordo direito

$$\begin{aligned}
qx = -k \cdot \frac{du}{dx} \cdot n_x = hr \cdot (u - ur) &\rightarrow -k \cdot \frac{u_{i,nc+1} - u_{i,nc-1}}{2\Delta x} \cdot (+1) = hr \cdot (u_{i,nc} - ur) \rightarrow u_{i,nc+1} = u_{i,nc-1} - \frac{2\Delta x \cdot hr}{k} \cdot u_{i,nc} + \frac{2\Delta x \cdot hr}{k} \cdot ur \Rightarrow \\
-u_{i,nc-1}^m + \left(2 + \frac{1}{r_x}\right) \cdot u_{i,nc}^{m+1} - \left(u_{i,nc-1}^m - \frac{2\Delta x \cdot hr}{k} \cdot u_{i,nc}^m + \frac{2\Delta x \cdot hr}{k} \cdot ur\right) &= f_x \cdot u_{i-1,nc}^m + \left(\frac{1}{r_x} - 2f_x\right) \cdot u_{i,nc}^m + f_x \cdot u_{i+1,nc}^m + \frac{s_{i,nc}^m}{k \cdot e} \cdot \Delta x^2 \Rightarrow \\
(i=2 : nr-1) \quad (j=nc) &\rightarrow \boxed{-2u_{i,nc-1}^m + \left(2 + \frac{1}{r_x} + \frac{2\Delta x \cdot hr}{k}\right) \cdot u_{i,nc}^{m+1} = f_x \cdot u_{i-1,nc}^m + \left(\frac{1}{r_x} - 2f_x\right) \cdot u_{i,nc}^m + f_x \cdot u_{i+1,nc}^m + \frac{s_{i,nc}^m}{k \cdot e} \cdot \Delta x^2 + \frac{2\Delta x \cdot hr}{k} \cdot ur}
\end{aligned}$$

1.2 – Solução da linha inferior ($i = 1$)

1.2.1 – Condição de contorno de temperatura constante prescrita no bordo inferior

$$(i=1) \quad (j=1 : nc) \rightarrow u_{1,j} = ub$$

1.2.2 – Condição de contorno de fluxo de calor radiativo constante prescrito no bordo inferior

$$\begin{aligned}
qy = -k \cdot \frac{du}{dy} \cdot n_y &\rightarrow qy_{1,j} \equiv -k \cdot \frac{u_{2,j} - u_{0,j}}{2\Delta y} \cdot (-1) = qb \rightarrow u_{0,j} = u_{2,j} - qb \cdot \frac{2\Delta y}{k} \\
-u_{1,j-1}^m + \left(2 + \frac{1}{r_x}\right) \cdot u_{1,j}^{m+1} - u_{1,j+1}^m &= f_x \cdot u_{0,j}^m + \left(\frac{1}{r_x} - 2f_x\right) \cdot u_{1,j}^m + f_x \cdot u_{2,j}^m + \frac{s_{1,j}^m}{k \cdot e} \cdot \Delta x^2 \Rightarrow \\
-u_{1,j-1}^m + \left(2 + \frac{1}{r_x}\right) \cdot u_{1,j}^{m+1} - u_{1,j+1}^m &= f_x \cdot \left(u_{2,j}^m - qb \cdot \frac{2\Delta y}{k}\right) + \left(\frac{1}{r_x} - 2f_x\right) \cdot u_{1,j}^m + f_x \cdot u_{2,j}^m + \frac{s_{1,j}^m}{k \cdot e} \cdot \Delta x^2 \Rightarrow \\
(i=1) \quad (j=2 : nc-1) &\rightarrow \boxed{-u_{1,j-1}^m + \left(2 + \frac{1}{r_x}\right) \cdot u_{1,j}^{m+1} - u_{1,j+1}^m = \left(\frac{1}{r_x} - 2f_x\right) \cdot u_{1,j}^m + 2f_x \cdot u_{2,j}^m + \frac{s_{1,j}^m}{k \cdot e} \cdot \Delta x^2 - qb \cdot f_x \cdot \frac{2\Delta y}{k}}
\end{aligned}$$

1.2.2.1 – Condições de contorno no bordo esquerdo

1.2.2.1.1 – Condição de contorno de temperatura constante prescrita no bordo esquerdo

$$(i=1) \quad (j=1) \rightarrow u_{1,1} = ul$$

1.2.2.1.2 – Condição de contorno de fluxo de calor radiativo constante prescrito no bordo esquerdo

$$\begin{aligned}
qx = -k \cdot \frac{du}{dx} \cdot n_x &\rightarrow qx_{1,1} \equiv -k \cdot \frac{u_{1,2} - u_{1,0}}{2\Delta x} \cdot (-1) = ql \rightarrow u_{1,0} = u_{1,2} - ql \cdot \frac{2\Delta x}{k} \\
-u_{1,0}^m + \left(2 + \frac{1}{r_x}\right) \cdot u_{1,1}^{m+1} - u_{1,2}^m &= \left(\frac{1}{r_x} - 2f_x\right) \cdot u_{1,1}^m + 2f_x \cdot u_{2,1}^m + \frac{s_{1,1}^m}{k \cdot e} \cdot \Delta x^2 - qb \cdot f_x \cdot \frac{2\Delta y}{k} \Rightarrow \\
-\left(u_{1,2}^m - ql \cdot \frac{2\Delta x}{k}\right) + \left(2 + \frac{1}{r_x}\right) \cdot u_{1,1}^{m+1} - u_{1,2}^m &= \left(\frac{1}{r_x} - 2f_x\right) \cdot u_{1,1}^m + 2f_x \cdot u_{2,1}^m + \frac{s_{1,1}^m}{k \cdot e} \cdot \Delta x^2 - qb \cdot f_x \cdot \frac{2\Delta y}{k} \Rightarrow \\
(i=1) \quad (j=1) &\rightarrow \boxed{\left(2 + \frac{1}{r_x}\right) \cdot u_{1,1}^{m+1} - 2u_{1,2}^m = \left(\frac{1}{r_x} - 2f_x\right) \cdot u_{1,1}^m + 2f_x \cdot u_{2,1}^m + \frac{s_{1,1}^m}{k \cdot e} \cdot \Delta x^2 - qb \cdot f_x \cdot \frac{2\Delta y}{k} - ql \cdot \frac{2\Delta x}{k}}
\end{aligned}$$

1.2.2.1.3 – Condição de contorno de troca de calor por convecção no bordo esquerdo

$$qx = -k \cdot \frac{du}{dx} \cdot n_x = hl \cdot (u - ul) \rightarrow -k \cdot \frac{u_{1,2} - u_{1,0}}{2\Delta x} \cdot (-1) = hl \cdot (u_{1,1} - ul) \rightarrow u_{1,0} = -\frac{2\Delta x \cdot hl}{k} \cdot u_{1,1} + u_{1,2} + \frac{2\Delta x \cdot hl}{k} \cdot ul \Rightarrow$$

$$-\left(-\frac{2\Delta x \cdot hl}{k} \cdot u_{1,1}^{m+1} + u_{1,2}^{m+1} + \frac{2\Delta x \cdot hl}{k} \cdot ul\right) + \left(2 + \frac{1}{r_x}\right) \cdot u_{1,1}^{m+1} - u_{1,2}^{m+1} = \left(\frac{1}{r_x} - 2f_x\right) \cdot u_{1,1}^m + 2f_x \cdot u_{2,1}^m + \frac{s_{1,1}^m}{k \cdot e} \cdot \Delta x^2 - qb \cdot f_x \cdot \frac{2\Delta y}{k} \Rightarrow$$

$$(i=1) \quad (j=1) \rightarrow \left[\left(2 + \frac{1}{r_x} + \frac{2\Delta x \cdot hl}{k}\right) \cdot u_{1,1}^{m+1} - 2u_{1,2}^{m+1} = \left(\frac{1}{r_x} - 2f_x\right) \cdot u_{1,1}^m + 2f_x \cdot u_{2,1}^m + \frac{s_{1,1}^m}{k \cdot e} \cdot \Delta x^2 - qb \cdot f_x \cdot \frac{2\Delta y}{k} + \frac{2\Delta x \cdot hl}{k} \cdot ul \right]$$

1.2.2.2 – Condições de contorno no bordo direito

1.2.2.2.1 – Condição de contorno de temperatura constante prescrita no bordo direito

$$(i=1) \quad (j=nc) \rightarrow [u_{1,nc} = ur]$$

1.2.2.2.2 – Condição de contorno de fluxo de calor radiativo constante prescrito no bordo direito

$$qx = -k \cdot \frac{du}{dx} \cdot n_x \rightarrow qx_{1,nc} \cong -k \cdot \frac{u_{1,nc+1} - u_{1,nc-1}}{2\Delta x} \cdot (+1) = qr \rightarrow u_{1,nc+1} = u_{1,nc-1} - qr \cdot \frac{2\Delta x}{k}$$

$$-u_{1,nc-1}^{m+1} + \left(2 + \frac{1}{r_x}\right) \cdot u_{1,nc}^{m+1} - u_{1,nc+1}^{m+1} = \left(\frac{1}{r_x} - 2f_x\right) \cdot u_{1,nc}^m + 2f_x \cdot u_{2,nc}^m + \frac{s_{1,nc}^m}{k \cdot e} \cdot \Delta x^2 - qb \cdot f_x \cdot \frac{2\Delta y}{k} \Rightarrow$$

$$-u_{1,nc-1}^{m+1} + \left(2 + \frac{1}{r_x}\right) \cdot u_{1,nc}^{m+1} - \left(u_{1,nc-1}^{m+1} - qr \cdot \frac{2\Delta x}{k}\right) = \left(\frac{1}{r_x} - 2f_x\right) \cdot u_{1,nc}^m + 2f_x \cdot u_{2,nc}^m + \frac{s_{1,nc}^m}{k \cdot e} \cdot \Delta x^2 - qb \cdot f_x \cdot \frac{2\Delta y}{k} \Rightarrow$$

$$(i=1) \quad (j=nc) \rightarrow \left[-2u_{1,nc-1}^{m+1} + \left(2 + \frac{1}{r_x}\right) \cdot u_{1,nc}^{m+1} = \left(\frac{1}{r_x} - 2f_x\right) \cdot u_{1,nc}^m + 2f_x \cdot u_{2,nc}^m + \frac{s_{1,nc}^m}{k \cdot e} \cdot \Delta x^2 - qb \cdot f_x \cdot \frac{2\Delta y}{k} - qr \cdot \frac{2\Delta x}{k} \right]$$

1.2.2.2.3 – Condição de contorno de troca de calor por convecção no bordo direito

$$qx = -k \cdot \frac{du}{dx} \cdot n_x = hr \cdot (u - ur) \rightarrow -k \cdot \frac{u_{1,nc+1} - u_{1,nc-1}}{2\Delta x} \cdot (+1) = hr \cdot (u_{1,nc} - ur) \rightarrow u_{1,nc+1} = u_{1,nc-1} - \frac{2\Delta x \cdot hr}{k} \cdot u_{1,nc} + \frac{2\Delta x \cdot hr}{k} \cdot ur \Rightarrow$$

$$-u_{1,nc-1}^{m+1} + \left(2 + \frac{1}{r_x}\right) \cdot u_{1,nc}^{m+1} - \left(u_{1,nc-1}^{m+1} - \frac{2\Delta x \cdot hr}{k} \cdot u_{1,nc}^{m+1} + \frac{2\Delta x \cdot hr}{k} \cdot ur\right) = \left(\frac{1}{r_x} - 2f_x\right) \cdot u_{1,nc}^m + 2f_x \cdot u_{2,nc}^m + \frac{s_{1,nc}^m}{k \cdot e} \cdot \Delta x^2 - qb \cdot f_x \cdot \frac{2\Delta y}{k} \Rightarrow$$

$$(i=1) \quad (j=nc) \rightarrow \left[-2u_{1,nc-1}^{m+1} + \left(2 + \frac{1}{r_x} + \frac{2\Delta x \cdot hr}{k}\right) \cdot u_{1,nc}^{m+1} = \left(\frac{1}{r_x} - 2f_x\right) \cdot u_{1,nc}^m + 2f_x \cdot u_{2,nc}^m + \frac{s_{1,nc}^m}{k \cdot e} \cdot \Delta x^2 - qb \cdot f_x \cdot \frac{2\Delta y}{k} + \frac{2\Delta x \cdot hr}{k} \cdot ur \right]$$

1.2.3 – Condição de contorno de troca de calor por convecção no bordo inferior

$$qy = -k \cdot \frac{du}{dy} \cdot n_y = hb \cdot (u - ub) \rightarrow -k \cdot \frac{u_{2,j} - u_{0,j}}{2\Delta y} \cdot (-1) = hb \cdot (u_{1,j} - ub) \rightarrow u_{0,j} = -\frac{2\Delta y \cdot hb}{k} \cdot u_{1,j} + u_{2,j} + \frac{2\Delta y \cdot hb}{k} \cdot ub$$

$$-u_{1,j-1}^{m+1} + \left(2 + \frac{1}{r_x}\right) \cdot u_{1,j}^{m+1} - u_{1,j+1}^{m+1} = f_x \cdot u_{0,j}^m + \left(\frac{1}{r_x} - 2f_x\right) \cdot u_{1,j}^m + f_x \cdot u_{2,j}^m + \frac{s_{1,j}^m}{k \cdot e} \cdot \Delta x^2 \Rightarrow$$

$$-u_{1,j-1}^{m+1} + \left(2 + \frac{1}{r_x}\right) \cdot u_{1,j}^{m+1} - u_{1,j+1}^{m+1} = f_x \cdot \left(-\frac{2\Delta y \cdot hb}{k} \cdot u_{1,j}^m + u_{2,j}^m + \frac{2\Delta y \cdot hb}{k} \cdot ub\right) + \left(\frac{1}{r_x} - 2f_x\right) \cdot u_{1,j}^m + f_x \cdot u_{2,j}^m + \frac{s_{1,j}^m}{k \cdot e} \cdot \Delta x^2 \Rightarrow$$

$$(i=1) \quad (j=2 : nc-1) \rightarrow \left[-u_{1,j-1}^{m+1} + \left(2 + \frac{1}{r_x}\right) \cdot u_{1,j}^{m+1} - u_{1,j+1}^{m+1} = \left(\frac{1}{r_x} - 2f_x - f_x \cdot \frac{2\Delta y \cdot hb}{k}\right) \cdot u_{1,j}^m + 2f_x \cdot u_{2,j}^m + \frac{s_{1,j}^m}{k \cdot e} \cdot \Delta x^2 + f_x \cdot \frac{2\Delta y \cdot hb}{k} \cdot ub \right]$$

1.2.3.1 – Condições de contorno no bordo esquerdo

1.2.3.1.1 – Condição de contorno de temperatura constante prescrita no bordo esquerdo

$$(i=1) \quad (j=1) \rightarrow [u_{1,1} = ul]$$

1.2.3.1.2 – Condição de contorno de fluxo de calor radiativo constante prescrito no bordo esquerdo

$$qx = -k \cdot \frac{du}{dx} \cdot n_x \rightarrow qx_{1,1} \cong -k \cdot \frac{u_{1,2} - u_{1,0}}{2\Delta x} \cdot (-1) = ql \rightarrow u_{1,0} = u_{1,2} - ql \cdot \frac{2\Delta x}{k}$$

$$-u_{1,0}^{m+1} + \left(2 + \frac{1}{r_x}\right) \cdot u_{1,1}^{m+1} - u_{1,2}^{m+1} = \left(\frac{1}{r_x} - 2f_x - f_x \cdot \frac{2\Delta y \cdot hb}{k}\right) \cdot u_{1,1}^m + 2f_x \cdot u_{2,1}^m + \frac{s_{1,1}^m}{k \cdot e} \cdot \Delta x^2 + f_x \cdot \frac{2\Delta y \cdot hb}{k} \cdot ub \Rightarrow$$

$$-\left(u_{1,2}^{m+1} - ql \cdot \frac{2\Delta x}{k}\right) + \left(2 + \frac{1}{r_x}\right) \cdot u_{1,1}^{m+1} - u_{1,2}^{m+1} = \left(\frac{1}{r_x} - 2f_x - f_x \cdot \frac{2\Delta y \cdot hb}{k}\right) \cdot u_{1,1}^m + 2f_x \cdot u_{2,1}^m + \frac{s_{1,1}^m}{k \cdot e} \cdot \Delta x^2 + f_x \cdot \frac{2\Delta y \cdot hb}{k} \cdot ub \Rightarrow$$

$$(i=1) \quad (j=1) \rightarrow \boxed{\left(2 + \frac{1}{r_x}\right) \cdot u_{1,1}^{m+1} - 2u_{1,2}^{m+1} = \left(\frac{1}{r_x} - 2f_x - f_x \cdot \frac{2\Delta y \cdot hb}{k}\right) \cdot u_{1,1}^m + 2f_x \cdot u_{2,1}^m + \frac{s_{1,1}^m}{k \cdot e} \cdot \Delta x^2 + f_x \cdot \frac{2\Delta y \cdot hb}{k} \cdot ub - ql \cdot \frac{2\Delta x}{k}}$$

1.2.3.1.3 – Condição de contorno de troca de calor por convecção no bordo esquerdo

$$qx = -k \cdot \frac{du}{dx} \cdot n_x = hl \cdot (u - ul) \rightarrow -k \cdot \frac{u_{1,2} - u_{1,0}}{2\Delta x} \cdot (-1) = hl \cdot (u_{1,1} - ul) \rightarrow u_{1,0} = -\frac{2\Delta x \cdot hl}{k} \cdot u_{1,1} + u_{1,2} + \frac{2\Delta x \cdot hl}{k} \cdot ul \Rightarrow$$

$$-\left(-\frac{2\Delta x \cdot hl}{k} \cdot u_{1,1}^{m+1} + u_{1,2}^{m+1} + \frac{2\Delta x \cdot hl}{k} \cdot ul\right) + \left(2 + \frac{1}{r_x}\right) \cdot u_{1,1}^{m+1} - u_{1,2}^{m+1} = \left(\frac{1}{r_x} - 2f_x - f_x \cdot \frac{2\Delta y \cdot hb}{k}\right) \cdot u_{1,1}^m + 2f_x \cdot u_{2,1}^m + \frac{s_{1,1}^m}{k \cdot e} \cdot \Delta x^2 + f_x \cdot \frac{2\Delta y \cdot hb}{k} \cdot ub \Rightarrow$$

$$(i=1) \quad (j=1) \rightarrow \boxed{\left(2 + \frac{1}{r_x} + \frac{2\Delta x \cdot hl}{k}\right) \cdot u_{1,1}^{m+1} - 2u_{1,2}^{m+1} = \left(\frac{1}{r_x} - 2f_x - f_x \cdot \frac{2\Delta y \cdot hb}{k}\right) \cdot u_{1,1}^m + 2f_x \cdot u_{2,1}^m + \frac{s_{1,1}^m}{k \cdot e} \cdot \Delta x^2 + f_x \cdot \frac{2\Delta y \cdot hb}{k} \cdot ub + \frac{2\Delta x \cdot hl}{k} \cdot ul}$$

1.2.3.2 – Condições de contorno no bordo direito

1.2.3.2.1 – Condição de contorno de temperatura constante prescrita no bordo direito

$$(i=1) \quad (j=nc) \rightarrow \boxed{u_{1,nc} = ur}$$

1.2.3.2.2 – Condição de contorno de fluxo de calor radiativo constante prescrito no bordo direito

$$qx = -k \cdot \frac{du}{dx} \cdot n_x \rightarrow qx_{1,nc} \cong -k \cdot \frac{u_{1,nc+1} - u_{1,nc-1}}{2\Delta x} \cdot (+1) = qr \rightarrow u_{1,nc+1} = u_{1,nc-1} - qr \cdot \frac{2\Delta x}{k}$$

$$-u_{1,nc-1}^{m+1} + \left(2 + \frac{1}{r_x}\right) \cdot u_{1,nc}^{m+1} - u_{1,nc+1}^{m+1} = \left(\frac{1}{r_x} - 2f_x - f_x \cdot \frac{2\Delta y \cdot hb}{k}\right) \cdot u_{1,nc}^m + 2f_x \cdot u_{2,nc}^m + \frac{s_{1,nc}^m}{k \cdot e} \cdot \Delta x^2 + f_x \cdot \frac{2\Delta y \cdot hb}{k} \cdot ub \Rightarrow$$

$$-u_{1,nc-1}^{m+1} + \left(2 + \frac{1}{r_x}\right) \cdot u_{1,nc}^{m+1} - \left(u_{1,nc-1}^{m+1} - qr \cdot \frac{2\Delta x}{k}\right) = \left(\frac{1}{r_x} - 2f_x - f_x \cdot \frac{2\Delta y \cdot hb}{k}\right) \cdot u_{1,nc}^m + 2f_x \cdot u_{2,nc}^m + \frac{s_{1,nc}^m}{k \cdot e} \cdot \Delta x^2 + f_x \cdot \frac{2\Delta y \cdot hb}{k} \cdot ub \Rightarrow$$

$$(i=1) \quad (j=nc) \rightarrow \boxed{-2u_{1,nc-1}^{m+1} + \left(2 + \frac{1}{r_x}\right) \cdot u_{1,nc}^{m+1} = \left(\frac{1}{r_x} - 2f_x - f_x \cdot \frac{2\Delta y \cdot hb}{k}\right) \cdot u_{1,nc}^m + 2f_x \cdot u_{2,nc}^m + \frac{s_{1,nc}^m}{k \cdot e} \cdot \Delta x^2 + f_x \cdot \frac{2\Delta y \cdot hb}{k} \cdot ub - qr \cdot \frac{2\Delta x}{k}}$$

1.2.3.2.3 – Condição de contorno de troca de calor por convecção no bordo direito

$$qx = -k \cdot \frac{du}{dx} \cdot n_x = hr \cdot (u - ur) \rightarrow -k \cdot \frac{u_{1,nc+1} - u_{1,nc-1}}{2\Delta x} \cdot (+1) = hr \cdot (u_{1,nc} - ur) \rightarrow u_{1,nc+1} = u_{1,nc-1} - \frac{2\Delta x \cdot hr}{k} \cdot u_{1,nc} + \frac{2\Delta x \cdot hr}{k} \cdot ur \Rightarrow$$

$$-u_{1,nc-1}^{m+1} + \left(2 + \frac{1}{r_x}\right) \cdot u_{1,nc}^{m+1} - \left(u_{1,nc-1}^{m+1} - \frac{2\Delta x \cdot hr}{k} \cdot u_{1,nc}^{m+1} + \frac{2\Delta x \cdot hr}{k} \cdot ur\right) = \left(\frac{1}{r_x} - 2f_x - f_x \cdot \frac{2\Delta y \cdot hb}{k}\right) \cdot u_{1,nc}^m + 2f_x \cdot u_{2,nc}^m + \frac{s_{1,nc}^m}{k \cdot e} \cdot \Delta x^2 + f_x \cdot \frac{2\Delta y \cdot hb}{k} \cdot ub \Rightarrow$$

$$(i=1) \quad (j=nc) \rightarrow \boxed{-2u_{1,nc-1}^{m+1} + \left(2 + \frac{1}{r_x} + \frac{2\Delta x \cdot hr}{k}\right) \cdot u_{1,nc}^{m+1} = \left(\frac{1}{r_x} - 2f_x - f_x \cdot \frac{2\Delta y \cdot hb}{k}\right) \cdot u_{1,nc}^m + 2f_x \cdot u_{2,nc}^m + \frac{s_{1,nc}^m}{k \cdot e} \cdot \Delta x^2 + f_x \cdot \frac{2\Delta y \cdot hb}{k} \cdot ub + \frac{2\Delta x \cdot hr}{k} \cdot ur}$$

1.3 – Solução da linha superior ($i = nr$)

1.3.1 – Condição de contorno de temperatura constante prescrita no bordo superior

$$(i=nr) \quad (j=1 : nc) \rightarrow \boxed{u_{nr,j} = ut}$$

1.3.2 – Condição de contorno de fluxo de calor radiativo constante prescrito no bordo superior

$$qy = -k \cdot \frac{du}{dy} \cdot n_y \rightarrow qy_{nr,j} \cong -k \cdot \frac{u_{nr+1,j} - u_{nr-1,j}}{2\Delta y} \cdot (+1) = qt \rightarrow u_{nr+1,j} = u_{nr-1,j} - qt \cdot \frac{2\Delta y}{k}$$

$$-u_{nr,j-1}^{m+1} + \left(2 + \frac{1}{r_x}\right) \cdot u_{nr,j}^{m+1} - u_{nr,j+1}^{m+1} = f_x \cdot u_{nr-1,j}^m + \left(\frac{1}{r_x} - 2f_x\right) \cdot u_{nr,j}^m + f_x \cdot u_{nr+1,j}^m + \frac{s_{nr,j}^m}{k \cdot e} \cdot \Delta x^2 \Rightarrow$$

$$-u_{nr,j-1}^{m+1} + \left(2 + \frac{1}{r_x}\right) \cdot u_{nr,j}^{m+1} - u_{nr,j+1}^{m+1} = f_x \cdot u_{nr-1,j}^m + \left(\frac{1}{r_x} - 2f_x\right) \cdot u_{nr,j}^m + f_x \cdot \left(u_{nr-1,j}^m - qt \cdot \frac{2\Delta y}{k}\right) + \frac{s_{nr,j}^m}{k \cdot e} \cdot \Delta x^2 \Rightarrow$$

$$(i=nr) \quad (j=2 : nc-1) \rightarrow \boxed{-u_{nr,j-1}^{m+1} + \left(2 + \frac{1}{r_x}\right) \cdot u_{nr,j}^{m+1} - u_{nr,j+1}^{m+1} = 2f_x \cdot u_{nr-1,j}^m + \left(\frac{1}{r_x} - 2f_x\right) \cdot u_{nr,j}^m + \frac{s_{nr,j}^m}{k \cdot e} \cdot \Delta x^2 - qt \cdot f_x \cdot \frac{2\Delta y}{k}}$$

1.3.2.1 – Condições de contorno no bordo esquerdo

1.3.2.1.1 – Condição de contorno de temperatura constante prescrita no bordo esquerdo

$$(i = nr) \quad (j = 1) \rightarrow u_{nr,1} = ul$$

1.3.2.1.2 – Condição de contorno de fluxo de calor radiativo constante prescrito no bordo esquerdo

$$\begin{aligned} qx = -k \cdot \frac{du}{dx} \cdot n_x \rightarrow qx_{nr,1} &\equiv -k \cdot \frac{u_{nr,2} - u_{nr,0}}{2\Delta x} \cdot (-1) = ql \rightarrow u_{nr,0} = u_{nr,2} - ql \cdot \frac{2\Delta x}{k} \\ -u_{nr,0}^{m+1} + \left(2 + \frac{1}{r_x}\right) \cdot u_{nr,1}^{m+1} - u_{nr,2}^{m+1} &= 2f_x \cdot u_{nr-1,1}^m + \left(\frac{1}{r_x} - 2f_x\right) \cdot u_{nr,1}^m + \frac{s_{nr,1}^m}{k \cdot e} \cdot \Delta x^2 - qt \cdot f_x \cdot \frac{2\Delta y}{k} \Rightarrow \\ -\left(u_{nr,2}^{m+1} - ql \cdot \frac{2\Delta x}{k}\right) + \left(2 + \frac{1}{r_x}\right) \cdot u_{nr,1}^{m+1} - u_{nr,2}^{m+1} &= 2f_x \cdot u_{nr-1,1}^m + \left(\frac{1}{r_x} - 2f_x\right) \cdot u_{nr,1}^m + \frac{s_{nr,1}^m}{k \cdot e} \cdot \Delta x^2 - qt \cdot f_x \cdot \frac{2\Delta y}{k} \Rightarrow \\ (i = nr) \quad (j = 1) \rightarrow &\left[\left(2 + \frac{1}{r_x}\right) \cdot u_{nr,1}^{m+1} - 2u_{nr,2}^{m+1} = 2f_x \cdot u_{nr-1,1}^m + \left(\frac{1}{r_x} - 2f_x\right) \cdot u_{nr,1}^m + \frac{s_{nr,1}^m}{k \cdot e} \cdot \Delta x^2 - qt \cdot f_x \cdot \frac{2\Delta y}{k} - ql \cdot \frac{2\Delta x}{k} \right] \end{aligned}$$

1.3.2.1.3 – Condição de contorno de troca de calor por convecção no bordo esquerdo

$$\begin{aligned} qx = -k \cdot \frac{du}{dx} \cdot n_x = hl \cdot (u - ul) \rightarrow -k \cdot \frac{u_{nr,2} - u_{nr,0}}{2\Delta x} \cdot (-1) = hl \cdot (u_{nr,1} - ul) \rightarrow u_{nr,0} = -\frac{2\Delta x \cdot hl}{k} \cdot u_{nr,1} + u_{nr,2} + \frac{2\Delta x \cdot hl}{k} \cdot ul \Rightarrow \\ -\left(-\frac{2\Delta x \cdot hl}{k} \cdot u_{nr,1}^{m+1} + u_{nr,2}^{m+1} + \frac{2\Delta x \cdot hl}{k} \cdot ul\right) + \left(2 + \frac{1}{r_x}\right) \cdot u_{nr,1}^{m+1} - u_{nr,2}^{m+1} &= 2f_x \cdot u_{nr-1,1}^m + \left(\frac{1}{r_x} - 2f_x\right) \cdot u_{nr,1}^m + \frac{s_{nr,1}^m}{k \cdot e} \cdot \Delta x^2 - qt \cdot f_x \cdot \frac{2\Delta y}{k} \Rightarrow \\ (i = nr) \quad (j = 1) \rightarrow &\left[\left(2 + \frac{1}{r_x} + \frac{2\Delta x \cdot hl}{k}\right) \cdot u_{nr,1}^{m+1} - 2u_{nr,2}^{m+1} = 2f_x \cdot u_{nr-1,1}^m + \left(\frac{1}{r_x} - 2f_x\right) \cdot u_{nr,1}^m + \frac{s_{nr,1}^m}{k \cdot e} \cdot \Delta x^2 - qt \cdot f_x \cdot \frac{2\Delta y}{k} + \frac{2\Delta x \cdot hl}{k} \cdot ul \right] \end{aligned}$$

1.3.2.2 – Condições de contorno no bordo direito

1.3.2.2.1 – Condição de contorno de temperatura constante prescrita no bordo direito

$$(i = nr) \quad (j = nc) \rightarrow u_{nr,nc} = ur$$

1.3.2.2.2 – Condição de contorno de fluxo de calor radiativo constante prescrito no bordo direito

$$\begin{aligned} qx = -k \cdot \frac{du}{dx} \cdot n_x \rightarrow qx_{nr,nc} &\equiv -k \cdot \frac{u_{nr,nc+1} - u_{nr,nc-1}}{2\Delta x} \cdot (+1) = qr \rightarrow u_{nr,nc+1} = u_{nr,nc-1} - qr \cdot \frac{2\Delta x}{k} \\ -u_{nr,nc-1}^{m+1} + \left(2 + \frac{1}{r_x}\right) \cdot u_{nr,nc}^{m+1} - u_{nr,nc+1}^{m+1} &= 2f_x \cdot u_{nr-1,nc}^m + \left(\frac{1}{r_x} - 2f_x\right) \cdot u_{nr,nc}^m + \frac{s_{nr,nc}^m}{k \cdot e} \cdot \Delta x^2 - qt \cdot f_x \cdot \frac{2\Delta y}{k} \Rightarrow \\ -u_{nr,nc-1}^{m+1} + \left(2 + \frac{1}{r_x}\right) \cdot u_{nr,nc}^{m+1} - \left(u_{nr,nc-1}^{m+1} - qr \cdot \frac{2\Delta x}{k}\right) &= 2f_x \cdot u_{nr-1,nc}^m + \left(\frac{1}{r_x} - 2f_x\right) \cdot u_{nr,nc}^m + \frac{s_{nr,nc}^m}{k \cdot e} \cdot \Delta x^2 - qt \cdot f_x \cdot \frac{2\Delta y}{k} \Rightarrow \\ (i = nr) \quad (j = nc) \rightarrow &\left[-2u_{nr,nc-1}^{m+1} + \left(2 + \frac{1}{r_x}\right) \cdot u_{nr,nc}^{m+1} = 2f_x \cdot u_{nr-1,nc}^m + \left(\frac{1}{r_x} - 2f_x\right) \cdot u_{nr,nc}^m + \frac{s_{nr,nc}^m}{k \cdot e} \cdot \Delta x^2 - qt \cdot f_x \cdot \frac{2\Delta y}{k} - qr \cdot \frac{2\Delta x}{k} \right] \end{aligned}$$

1.3.2.2.3 – Condição de contorno de troca de calor por convecção no bordo direito

$$\begin{aligned} qx = -k \cdot \frac{du}{dx} \cdot n_x = hr \cdot (u - ur) \rightarrow -k \cdot \frac{u_{nr,nc+1} - u_{nr,nc-1}}{2\Delta x} \cdot (+1) = hr \cdot (u_{nr,nc} - ur) \rightarrow u_{nr,nc+1} = u_{nr,nc-1} - \frac{2\Delta x \cdot hr}{k} \cdot u_{nr,nc} + \frac{2\Delta x \cdot hr}{k} \cdot ur \Rightarrow \\ -u_{nr,nc-1}^{m+1} + \left(2 + \frac{1}{r_x}\right) \cdot u_{nr,nc}^{m+1} - \left(u_{nr,nc-1}^{m+1} - \frac{2\Delta x \cdot hr}{k} \cdot u_{nr,nc}^m + \frac{2\Delta x \cdot hr}{k} \cdot ur\right) &= 2f_x \cdot u_{nr-1,nc}^m + \left(\frac{1}{r_x} - 2f_x\right) \cdot u_{nr,nc}^m + \frac{s_{nr,nc}^m}{k \cdot e} \cdot \Delta x^2 - qt \cdot f_x \cdot \frac{2\Delta y}{k} \Rightarrow \\ (i = nr) \quad (j = nc) \rightarrow &\left[-2u_{nr,nc-1}^{m+1} + \left(2 + \frac{1}{r_x} + \frac{2\Delta x \cdot hr}{k}\right) \cdot u_{nr,nc}^{m+1} = 2f_x \cdot u_{nr-1,nc}^m + \left(\frac{1}{r_x} - 2f_x\right) \cdot u_{nr,nc}^m + \frac{s_{nr,nc}^m}{k \cdot e} \cdot \Delta x^2 - qt \cdot f_x \cdot \frac{2\Delta y}{k} + \frac{2\Delta x \cdot hr}{k} \cdot ur \right] \end{aligned}$$

1.3.3 – Condição de contorno de troca de calor por convecção no bordo superior

$$\begin{aligned} qy = -k \cdot \frac{du}{dy} \cdot n_y = ht \cdot (u - ut) \rightarrow -k \cdot \frac{u_{nr+1,j} - u_{nr-1,j}}{2\Delta y} \cdot (+1) = ht \cdot (u_{nr,j} - ut) \rightarrow u_{nr+1,j} = u_{nr-1,j} - \frac{2\Delta y \cdot ht}{k} \cdot u_{nr,j} + \frac{2\Delta y \cdot ht}{k} \cdot ut \\ -u_{nr,j-1}^{m+1} + \left(2 + \frac{1}{r_x}\right) \cdot u_{nr,j}^{m+1} - u_{nr,j+1}^{m+1} &= f_x \cdot u_{nr-1,j}^m + \left(\frac{1}{r_x} - 2f_x\right) \cdot u_{nr,j}^m + f_x \cdot u_{nr+1,j}^m + \frac{s_{nr,j}^m}{k \cdot e} \cdot \Delta x^2 \Rightarrow \end{aligned}$$

$$-u_{nr,j-1}^{m+1} + \left(2 + \frac{1}{r_x}\right) \cdot u_{nr,j}^{m+1} - u_{nr,j+1}^{m+1} = f_x \cdot u_{nr-1,j}^m + \left(\frac{1}{r_x} - 2f_x\right) \cdot u_{nr,j}^m + f_x \cdot \left(u_{nr-1,j}^m - \frac{2\Delta y \cdot ht}{k} \cdot u_{nr,j}^m + \frac{2\Delta y \cdot ht}{k} \cdot ut\right) + \frac{s_{nr,j}^m}{k \cdot e} \cdot \Delta x^2 \Rightarrow$$

$$(i=nr) \quad (j=2 : nc-1) \rightarrow -u_{nr,j-1}^{m+1} + \left(2 + \frac{1}{r_x}\right) \cdot u_{nr,j}^{m+1} - u_{nr,j+1}^{m+1} = 2f_x \cdot u_{nr-1,j}^m + \left(\frac{1}{r_x} - 2f_x - f_x \cdot \frac{2\Delta y \cdot ht}{k}\right) \cdot u_{nr,j}^m + \frac{s_{nr,j}^m}{k \cdot e} \cdot \Delta x^2 + f_x \cdot \frac{2\Delta y \cdot ht}{k} \cdot ut$$

1.3.3.1 – Condições de contorno no bordo esquerdo

1.3.3.1.1 – Condição de contorno de temperatura constante prescrita no bordo esquerdo

$$(i=nr) \quad (j=1) \rightarrow u_{nr,1} = ul$$

1.3.3.1.2 – Condição de contorno de fluxo de calor radiativo constante prescrito no bordo esquerdo

$$qx = -k \cdot \frac{du}{dx} \cdot n_x \rightarrow qx_{nr,1} \equiv -k \cdot \frac{u_{nr,2} - u_{nr,0}}{2\Delta x} \cdot (-1) = ql \rightarrow u_{nr,0} = u_{nr,2} - ql \cdot \frac{2\Delta x}{k}$$

$$-u_{nr,0}^{m+1} + \left(2 + \frac{1}{r_x}\right) \cdot u_{nr,1}^{m+1} - u_{nr,2}^{m+1} = 2f_x \cdot u_{nr-1,1}^m + \left(\frac{1}{r_x} - 2f_x - f_x \cdot \frac{2\Delta y \cdot ht}{k}\right) \cdot u_{nr,1}^m + \frac{s_{nr,1}^m}{k \cdot e} \cdot \Delta x^2 + f_x \cdot \frac{2\Delta y \cdot ht}{k} \cdot ut \Rightarrow$$

$$-\left(u_{nr,2}^{m+1} - ql \cdot \frac{2\Delta x}{k}\right) + \left(2 + \frac{1}{r_x}\right) \cdot u_{nr,1}^{m+1} - u_{nr,2}^{m+1} = 2f_x \cdot u_{nr-1,1}^m + \left(\frac{1}{r_x} - 2f_x - f_x \cdot \frac{2\Delta y \cdot ht}{k}\right) \cdot u_{nr,1}^m + \frac{s_{nr,1}^m}{k \cdot e} \cdot \Delta x^2 + f_x \cdot \frac{2\Delta y \cdot ht}{k} \cdot ut \Rightarrow$$

$$(i=nr) \quad (j=1) \rightarrow \left(2 + \frac{1}{r_x}\right) \cdot u_{nr,1}^{m+1} - 2u_{nr,2}^{m+1} = 2f_x \cdot u_{nr-1,1}^m + \left(\frac{1}{r_x} - 2f_x - f_x \cdot \frac{2\Delta y \cdot ht}{k}\right) \cdot u_{nr,1}^m + \frac{s_{nr,1}^m}{k \cdot e} \cdot \Delta x^2 + f_x \cdot \frac{2\Delta y \cdot ht}{k} \cdot ut - ql \cdot \frac{2\Delta x}{k}$$

1.3.3.1.3 – Condição de contorno de troca de calor por convecção no bordo esquerdo

$$qx = -k \cdot \frac{du}{dx} \cdot n_x = hl \cdot (u - ul) \rightarrow -k \cdot \frac{u_{nr,2} - u_{nr,0}}{2\Delta x} \cdot (-1) = hl \cdot (u_{nr,1} - ul) \rightarrow u_{nr,0} = -\frac{2\Delta x \cdot hl}{k} \cdot u_{nr,1} + u_{nr,2} + \frac{2\Delta x \cdot hl}{k} \cdot ul \Rightarrow$$

$$-\left(-\frac{2\Delta x \cdot hl}{k} \cdot u_{nr,1}^{m+1} + u_{nr,2}^{m+1} + \frac{2\Delta x \cdot hl}{k} \cdot ul\right) + \left(2 + \frac{1}{r_x}\right) \cdot u_{nr,1}^{m+1} - u_{nr,2}^{m+1} = 2f_x \cdot u_{nr-1,1}^m + \left(\frac{1}{r_x} - 2f_x - f_x \cdot \frac{2\Delta y \cdot ht}{k}\right) \cdot u_{nr,1}^m + \frac{s_{nr,1}^m}{k \cdot e} \cdot \Delta x^2 + f_x \cdot \frac{2\Delta y \cdot ht}{k} \cdot ut \Rightarrow$$

$$(i=nr) \quad (j=1) \rightarrow \left(2 + \frac{1}{r_x} + \frac{2\Delta x \cdot hl}{k}\right) \cdot u_{nr,1}^{m+1} - 2u_{nr,2}^{m+1} = 2f_x \cdot u_{nr-1,1}^m + \left(\frac{1}{r_x} - 2f_x - f_x \cdot \frac{2\Delta y \cdot ht}{k}\right) \cdot u_{nr,1}^m + \frac{s_{nr,1}^m}{k \cdot e} \cdot \Delta x^2 + f_x \cdot \frac{2\Delta y \cdot ht}{k} \cdot ut + \frac{2\Delta x \cdot hl}{k} \cdot ul$$

1.3.3.2 – Condições de contorno no bordo direito

1.3.3.2.1 – Condição de contorno de temperatura constante prescrita no bordo direito

$$(i=nr) \quad (j=nc) \rightarrow u_{nr,nc} = ur$$

1.3.3.2.2 – Condição de contorno de fluxo de calor radiativo constante prescrito no bordo direito

$$qx = -k \cdot \frac{du}{dx} \cdot n_x \rightarrow qx_{nr,nc} \equiv -k \cdot \frac{u_{nr,nc+1} - u_{nr,nc-1}}{2\Delta x} \cdot (+1) = qr \rightarrow u_{nr,nc+1} = u_{nr,nc-1} - qr \cdot \frac{2\Delta x}{k}$$

$$-u_{nr,nc-1}^{m+1} + \left(2 + \frac{1}{r_x}\right) \cdot u_{nr,nc}^{m+1} - u_{nr,nc+1}^{m+1} = 2f_x \cdot u_{nr-1,nc}^m + \left(\frac{1}{r_x} - 2f_x - f_x \cdot \frac{2\Delta y \cdot ht}{k}\right) \cdot u_{nr,nc}^m + \frac{s_{nr,nc}^m}{k \cdot e} \cdot \Delta x^2 + f_x \cdot \frac{2\Delta y \cdot ht}{k} \cdot ut \Rightarrow$$

$$-u_{nr,nc-1}^{m+1} + \left(2 + \frac{1}{r_x}\right) \cdot u_{nr,nc}^{m+1} - \left(u_{nr,nc-1}^{m+1} - qr \cdot \frac{2\Delta x}{k}\right) = 2f_x \cdot u_{nr-1,nc}^m + \left(\frac{1}{r_x} - 2f_x - f_x \cdot \frac{2\Delta y \cdot ht}{k}\right) \cdot u_{nr,nc}^m + \frac{s_{nr,nc}^m}{k \cdot e} \cdot \Delta x^2 + f_x \cdot \frac{2\Delta y \cdot ht}{k} \cdot ut \Rightarrow$$

$$(i=nr) \quad (j=nc) \rightarrow -2u_{nr,nc-1}^{m+1} + \left(2 + \frac{1}{r_x}\right) \cdot u_{nr,nc}^{m+1} = 2f_x \cdot u_{nr-1,nc}^m + \left(\frac{1}{r_x} - 2f_x - f_x \cdot \frac{2\Delta y \cdot ht}{k}\right) \cdot u_{nr,nc}^m + \frac{s_{nr,nc}^m}{k \cdot e} \cdot \Delta x^2 + f_x \cdot \frac{2\Delta y \cdot ht}{k} \cdot ut - qr \cdot \frac{2\Delta x}{k}$$

1.3.3.2.3 – Condição de contorno de troca de calor por convecção no bordo direito

$$qx = -k \cdot \frac{du}{dx} \cdot n_x = hr \cdot (u - ur) \rightarrow -k \cdot \frac{u_{nr,nc+1} - u_{nr,nc-1}}{2\Delta x} \cdot (+1) = hr \cdot (u_{nr,nc} - ur) \rightarrow u_{nr,nc+1} = u_{nr,nc-1} - \frac{2\Delta x \cdot hr}{k} \cdot u_{nr,nc} + \frac{2\Delta x \cdot hr}{k} \cdot ur \Rightarrow$$

$$-u_{nr,nc-1}^{m+1} + \left(2 + \frac{1}{r_x}\right) \cdot u_{nr,nc}^{m+1} - \left(u_{nr,nc-1}^{m+1} - \frac{2\Delta x \cdot hr}{k} \cdot u_{nr,nc}^m + \frac{2\Delta x \cdot hr}{k} \cdot ur\right) = 2f_x \cdot u_{nr-1,nc}^m + \left(\frac{1}{r_x} - 2f_x - f_x \cdot \frac{2\Delta y \cdot ht}{k}\right) \cdot u_{nr,nc}^m + \frac{s_{nr,nc}^m}{k \cdot e} \cdot \Delta x^2 + f_x \cdot \frac{2\Delta y \cdot ht}{k} \cdot ut \Rightarrow$$

$$(i=nr) \quad (j=nc) \rightarrow -2u_{nr,nc-1}^{m+1} + \left(2 + \frac{1}{r_x} + \frac{2\Delta x \cdot hr}{k}\right) \cdot u_{nr,nc}^{m+1} = 2f_x \cdot u_{nr-1,nc}^m + \left(\frac{1}{r_x} - 2f_x - f_x \cdot \frac{2\Delta y \cdot ht}{k}\right) \cdot u_{nr,nc}^m + \frac{s_{nr,nc}^m}{k \cdot e} \cdot \Delta x^2 + f_x \cdot \frac{2\Delta y \cdot ht}{k} \cdot ut + \frac{2\Delta x \cdot hr}{k} \cdot ur$$

2 – Resolvendo em y: (segundo sub-passo no tempo $m+2$)

$$\frac{\frac{u_{i,j-1}^{m+1} - 2u_{i,j}^{m+1} + u_{i,j+1}^{m+1}}{\Delta x^2} + \frac{u_{i-1,j}^{m+2} - 2u_{i,j}^{m+2} + u_{i+1,j}^{m+2}}{\Delta y^2} - \frac{u_{i,j}^{m+2}}{\alpha \cdot \Delta t}}{\Delta y^2} = -\frac{u_{i,j}^{m+1}}{\alpha \cdot \Delta t} - \frac{s_{i,j}^{m+1}}{k \cdot e}$$

↑ ↑ ↑

considerado igual desconhecido desconhecido
ao do sub - passo anterior

$$\Rightarrow u_{i-1,j}^{m+2} - 2u_{i,j}^{m+2} + u_{i+1,j}^{m+2} - \frac{u_{i,j}^{m+2}}{\alpha \cdot \Delta t} \cdot \Delta y^2 = -\frac{(u_{i,j-1}^{m+1} - 2u_{i,j}^{m+1} + u_{i,j+1}^{m+1})}{\Delta x^2} \cdot \Delta y^2 - \frac{u_{i,j}^{m+1}}{\alpha \cdot \Delta t} \cdot \Delta y^2 - \frac{s_{i,j}^{m+1}}{k \cdot e} \cdot \Delta y^2$$

2.1 – Solução da coluna genérica ($j = 2:nc-1$)

2.1.1 – Caso geral (células do interior da coluna)

Adotando $r_y = \frac{\alpha \cdot \Delta t}{\Delta y^2}$, $f_y = \frac{1}{f_x} = \frac{\Delta y^2}{\Delta x^2}$ e $[x(-1)] \Rightarrow$

$$(i=2:nr-1) (j=2:nc-1) \rightarrow -u_{i-1,j}^{m+2} + \left(2 + \frac{1}{r_y}\right) \cdot u_{i,j}^{m+2} - u_{i+1,j}^{m+2} = f_y \cdot u_{i,j-1}^{m+1} + \left(\frac{1}{r_y} - 2f_y\right) \cdot u_{i,j}^{m+1} + f_y \cdot u_{i,j+1}^{m+1} + \frac{s_{i,j}^{m+1}}{k \cdot e} \cdot \Delta y^2$$

2.1.2 – Condições de contorno no bordo inferior

2.1.2.1 – Condição de contorno de temperatura constante prescrita no bordo inferior

$$(i=1) (j=2:nc-1) \rightarrow u_{1,j} = ub$$

2.1.2.2 – Condição de contorno de fluxo de calor radiativo constante prescrito no bordo inferior

$$qy = -k \cdot \frac{du}{dy} \cdot n_y \rightarrow qy_{1,j} \equiv -k \cdot \frac{u_{2,j} - u_{0,j}}{2\Delta y} \cdot (-1) = qb \rightarrow u_{0,j} = u_{2,j} - qb \cdot \frac{2\Delta y}{k}$$

$$-u_{0,j}^{m+2} + \left(2 + \frac{1}{r_y}\right) \cdot u_{1,j}^{m+2} - u_{2,j}^{m+2} = f_y \cdot u_{1,j-1}^{m+1} + \left(\frac{1}{r_y} - 2f_y\right) \cdot u_{1,j}^{m+1} + f_y \cdot u_{1,j+1}^{m+1} + \frac{s_{1,j}^{m+1}}{k \cdot e} \cdot \Delta y^2 \Rightarrow$$

$$-\left(u_{2,j}^{m+2} - qb \cdot \frac{2\Delta y}{k}\right) + \left(2 + \frac{1}{r_y}\right) \cdot u_{1,j}^{m+2} - u_{2,j}^{m+2} = f_y \cdot u_{1,j-1}^{m+1} + \left(\frac{1}{r_y} - 2f_y\right) \cdot u_{1,j}^{m+1} + f_y \cdot u_{1,j+1}^{m+1} + \frac{s_{1,j}^{m+1}}{k \cdot e} \cdot \Delta y^2 \Rightarrow$$

$$(i=1) (j=2:nc-1) \rightarrow \left(2 + \frac{1}{r_y}\right) \cdot u_{1,j}^{m+2} - 2u_{2,j}^{m+2} = f_y \cdot u_{1,j-1}^{m+1} + \left(\frac{1}{r_y} - 2f_y\right) \cdot u_{1,j}^{m+1} + f_y \cdot u_{1,j+1}^{m+1} + \frac{s_{1,j}^{m+1}}{k \cdot e} \cdot \Delta y^2 - qb \cdot \frac{2\Delta y}{k}$$

2.1.2.3 – Condição de contorno de troca de calor por convecção no bordo inferior

$$qy = -k \cdot \frac{du}{dy} \cdot n_y = hb \cdot (u - ub) \rightarrow -k \cdot \frac{u_{2,j} - u_{0,j}}{2\Delta y} \cdot (-1) = hb \cdot (u_{1,j} - ub) \rightarrow u_{0,j} = -\frac{2\Delta y \cdot hb}{k} \cdot u_{1,j} + u_{2,j} + \frac{2\Delta y \cdot hb}{k} \cdot ub \Rightarrow$$

$$-\left(-\frac{2\Delta y \cdot hb}{k} \cdot u_{1,j}^{m+2} + u_{2,j}^{m+2} + \frac{2\Delta y \cdot hb}{k} \cdot ub\right) + \left(2 + \frac{1}{r_y}\right) \cdot u_{1,j}^{m+2} - u_{2,j}^{m+2} = f_y \cdot u_{1,j-1}^{m+1} + \left(\frac{1}{r_y} - 2f_y\right) \cdot u_{1,j}^{m+1} + f_y \cdot u_{1,j+1}^{m+1} + \frac{s_{1,j}^{m+1}}{k \cdot e} \cdot \Delta y^2 \Rightarrow$$

$$(i=1) (j=2:nc-1) \rightarrow \left(2 + \frac{1}{r_y} + \frac{2\Delta y \cdot hb}{k}\right) \cdot u_{1,j}^{m+2} - 2u_{2,j}^{m+2} = f_y \cdot u_{1,j-1}^{m+1} + \left(\frac{1}{r_y} - 2f_y\right) \cdot u_{1,j}^{m+1} + f_y \cdot u_{1,j+1}^{m+1} + \frac{s_{1,j}^{m+1}}{k \cdot e} \cdot \Delta y^2 + \frac{2\Delta y \cdot hb}{k} \cdot ub$$

2.1.3 – Condições de contorno no bordo superior

2.1.3.1 – Condição de contorno de temperatura constante prescrita no bordo superior

$$(i=nr) (j=2:nc-1) \rightarrow u_{nr,j} = ut$$

2.1.3.2 – Condição de contorno de fluxo de calor radiativo constante prescrito no bordo superior

$$qy = -k \cdot \frac{du}{dy} \cdot n_y \rightarrow qy_{nr,j} \cong -k \cdot \frac{u_{nr+1,j} - u_{nr-1,j}}{2\Delta y} \cdot (+1) = qt \rightarrow u_{nr+1,j} = u_{nr-1,j} - qt \cdot \frac{2\Delta y}{k}$$

$$-u_{nr-1,j}^{m+2} + \left(2 + \frac{1}{r_y}\right) \cdot u_{nr,j}^{m+2} - u_{nr+1,j}^{m+2} = f_y \cdot u_{nr,j-1}^{m+1} + \left(\frac{1}{r_y} - 2f_y\right) \cdot u_{nr,j}^{m+1} + f_y \cdot u_{nr,j+1}^{m+1} + \frac{s_{nr,j}^{m+1}}{k \cdot e} \cdot \Delta y^2 \Rightarrow$$

$$-u_{nr-1,j}^{m+2} + \left(2 + \frac{1}{r_y}\right) \cdot u_{nr,j}^{m+2} - \left(u_{nr-1,j}^{m+2} - qt \cdot \frac{2\Delta y}{k}\right) = f_y \cdot u_{nr,j-1}^{m+1} + \left(\frac{1}{r_y} - 2f_y\right) \cdot u_{nr,j}^{m+1} + f_y \cdot u_{nr,j+1}^{m+1} + \frac{s_{nr,j}^{m+1}}{k \cdot e} \cdot \Delta y^2 \Rightarrow$$

$$(i = nr) \quad (j = 2 : nc - 1) \rightarrow -2u_{nr-1,j}^{m+2} + \left(2 + \frac{1}{r_y}\right) \cdot u_{nr,j}^{m+2} = f_y \cdot u_{nr,j-1}^{m+1} + \left(\frac{1}{r_y} - 2f_y\right) \cdot u_{nr,j}^{m+1} + f_y \cdot u_{nr,j+1}^{m+1} + \frac{s_{nr,j}^{m+1}}{k \cdot e} \cdot \Delta y^2 - qt \cdot \frac{2\Delta y}{k}$$

2.1.3.3 – Condição de contorno de troca de calor por convecção no bordo superior

$$qy = -k \cdot \frac{du}{dy} \cdot n_y = ht \cdot (u - ut) \rightarrow -k \cdot \frac{u_{nr+1,j} - u_{nr-1,j}}{2\Delta y} \cdot (+1) = ht \cdot (u_{nr,j} - ut) \rightarrow u_{nr+1,j} = u_{nr-1,j} - \frac{2\Delta y \cdot ht}{k} \cdot u_{nr,j} + \frac{2\Delta y \cdot ht}{k} \cdot ut \Rightarrow$$

$$-u_{nr-1,j}^{m+2} + \left(2 + \frac{1}{r_y}\right) \cdot u_{nr,j}^{m+2} - \left(u_{nr-1,j}^{m+2} - \frac{2\Delta y \cdot ht}{k} \cdot u_{nr,j}^{m+2} + \frac{2\Delta y \cdot ht}{k} \cdot ut\right) = f_y \cdot u_{nr,j-1}^{m+1} + \left(\frac{1}{r_y} - 2f_y\right) \cdot u_{nr,j}^{m+1} + f_y \cdot u_{nr,j+1}^{m+1} + \frac{s_{nr,j}^{m+1}}{k \cdot e} \cdot \Delta y^2 \Rightarrow$$

$$(i = nr) \quad (j = 2 : nc - 1) \rightarrow -2u_{nr-1,j}^{m+2} + \left(2 + \frac{1}{r_y} + \frac{2\Delta y \cdot ht}{k}\right) \cdot u_{nr,j}^{m+2} = f_y \cdot u_{nr,j-1}^{m+1} + \left(\frac{1}{r_y} - 2f_y\right) \cdot u_{nr,j}^{m+1} + f_y \cdot u_{nr,j+1}^{m+1} + \frac{s_{nr,j}^{m+1}}{k \cdot e} \cdot \Delta y^2 + \frac{2\Delta y \cdot ht}{k} \cdot ut$$

2.2 – Solução da coluna da esquerda ($j = 1$)

2.2.1 – Condição de contorno de temperatura constante prescrita no bordo esquerdo

$$(i = 1 : nr) \quad (j = 1) \rightarrow u_{i,1} = ul$$

2.2.2 – Condição de contorno de fluxo de calor radiativo constante prescrito no bordo esquerdo

$$qx = -k \cdot \frac{du}{dx} \cdot n_x \rightarrow qx_{i,1} \cong -k \cdot \frac{u_{i,2} - u_{i,0}}{2\Delta x} \cdot (-1) = ql \rightarrow u_{i,0} = u_{i,2} - ql \cdot \frac{2\Delta x}{k}$$

$$-u_{i-1,1}^{m+2} + \left(2 + \frac{1}{r_y}\right) \cdot u_{i,1}^{m+2} - u_{i+1,1}^{m+2} = f_y \cdot u_{i,0}^{m+1} + \left(\frac{1}{r_y} - 2f_y\right) \cdot u_{i,1}^{m+1} + f_y \cdot u_{i,2}^{m+1} + \frac{s_{i,1}^{m+1}}{k \cdot e} \cdot \Delta y^2 \Rightarrow$$

$$-u_{i-1,1}^{m+2} + \left(2 + \frac{1}{r_y}\right) \cdot u_{i,1}^{m+2} - u_{i+1,1}^{m+2} = f_y \cdot \left(u_{i,2}^{m+1} - ql \cdot \frac{2\Delta x}{k}\right) + \left(\frac{1}{r_y} - 2f_y\right) \cdot u_{i,1}^{m+1} + f_y \cdot u_{i,2}^{m+1} + \frac{s_{i,1}^{m+1}}{k \cdot e} \cdot \Delta y^2 \Rightarrow$$

$$(i = 2 : nr - 1) \quad (j = 1) \rightarrow -u_{i-1,1}^{m+2} + \left(2 + \frac{1}{r_y}\right) \cdot u_{i,1}^{m+2} - u_{i+1,1}^{m+2} = \left(\frac{1}{r_y} - 2f_y\right) \cdot u_{i,1}^{m+1} + 2f_y \cdot u_{i,2}^{m+1} + \frac{s_{i,1}^{m+1}}{k \cdot e} \cdot \Delta y^2 - ql \cdot f_y \cdot \frac{2\Delta x}{k}$$

2.2.2.1 – Condições de contorno no bordo inferior

2.2.2.1.1 – Condição de contorno de temperatura constante prescrita no bordo inferior

$$(i = 1) \quad (j = 1) \rightarrow u_{1,1} = ub$$

2.2.2.1.2 – Condição de contorno de fluxo de calor radiativo constante prescrito no bordo inferior

$$qy = -k \cdot \frac{du}{dy} \cdot n_y \rightarrow qy_{1,1} \cong -k \cdot \frac{u_{2,1} - u_{0,1}}{2\Delta y} \cdot (-1) = qb \rightarrow u_{0,1} = u_{2,1} - qb \cdot \frac{2\Delta y}{k}$$

$$-u_{0,1}^{m+2} + \left(2 + \frac{1}{r_y}\right) \cdot u_{1,1}^{m+2} - u_{2,1}^{m+2} = \left(\frac{1}{r_y} - 2f_y\right) \cdot u_{1,1}^{m+1} + 2f_y \cdot u_{1,2}^{m+1} + \frac{s_{1,1}^{m+1}}{k \cdot e} \cdot \Delta y^2 - ql \cdot f_y \cdot \frac{2\Delta x}{k} \Rightarrow$$

$$-\left(u_{2,1}^{m+2} - qb \cdot \frac{2\Delta y}{k}\right) + \left(2 + \frac{1}{r_y}\right) \cdot u_{1,1}^{m+2} - u_{2,1}^{m+2} = \left(\frac{1}{r_y} - 2f_y\right) \cdot u_{1,1}^{m+1} + 2f_y \cdot u_{1,2}^{m+1} + \frac{s_{1,1}^{m+1}}{k \cdot e} \cdot \Delta y^2 - ql \cdot f_y \cdot \frac{2\Delta x}{k} \Rightarrow$$

$$(i=1) \quad (j=1) \rightarrow \left(2 + \frac{1}{r_y} \right) \cdot u_{1,1}^{m+2} - 2u_{2,1}^{m+2} = \left(\frac{1}{r_y} - 2f_y \right) \cdot u_{1,1}^{m+1} + 2f_y \cdot u_{1,2}^{m+1} + \frac{s_{1,1}^{m+1}}{k \cdot e} \cdot \Delta y^2 - ql \cdot f_y \cdot \frac{2\Delta x}{k} - qb \cdot \frac{2\Delta y}{k}$$

2.2.2.1.3 – Condição de contorno de troca de calor por convecção no bordo inferior

$$qy = -k \cdot \frac{du}{dy} \cdot n_y = hb \cdot (u - ub) \rightarrow -k \cdot \frac{u_{2,1} - u_{0,1}}{2\Delta y} \cdot (-1) = hb \cdot (u_{1,1} - ub) \rightarrow u_{0,1} = -\frac{2\Delta y \cdot hb}{k} \cdot u_{1,1} + u_{2,1} + \frac{2\Delta y \cdot hb}{k} \cdot ub \Rightarrow$$

$$-\left(-\frac{2\Delta y \cdot hb}{k} \cdot u_{1,1}^{m+2} + u_{2,1}^{m+2} + \frac{2\Delta y \cdot hb}{k} \cdot ub \right) + \left(2 + \frac{1}{r_y} \right) \cdot u_{1,1}^{m+2} - u_{2,1}^{m+2} = \left(\frac{1}{r_y} - 2f_y \right) \cdot u_{1,1}^{m+1} + 2f_y \cdot u_{1,2}^{m+1} + \frac{s_{1,1}^{m+1}}{k \cdot e} \cdot \Delta y^2 - ql \cdot f_y \cdot \frac{2\Delta x}{k} \Rightarrow$$

$$(i=1) \quad (j=1) \rightarrow \left(2 + \frac{1}{r_y} + \frac{2\Delta y \cdot hb}{k} \right) \cdot u_{1,1}^{m+2} - 2u_{2,1}^{m+2} = \left(\frac{1}{r_y} - 2f_y \right) \cdot u_{1,1}^{m+1} + 2f_y \cdot u_{1,2}^{m+1} + \frac{s_{1,1}^{m+1}}{k \cdot e} \cdot \Delta y^2 - ql \cdot f_y \cdot \frac{2\Delta x}{k} + \frac{2\Delta y \cdot hb}{k} \cdot ub$$

2.2.2.2 – Condições de contorno no bordo superior

2.2.2.2.1 – Condição de contorno de temperatura constante prescrita no bordo superior

$$(i=nr) \quad (j=1) \rightarrow u_{nr,1} = ut$$

2.2.2.2.2 – Condição de contorno de fluxo de calor radiativo constante prescrito no bordo superior

$$qy = -k \cdot \frac{du}{dy} \cdot n_y \rightarrow qy_{nr,1} \equiv -k \cdot \frac{u_{nr+1,1} - u_{nr-1,1}}{2\Delta y} \cdot (+1) = qt \rightarrow u_{nr+1,1} = u_{nr-1,1} - qt \cdot \frac{2\Delta y}{k}$$

$$-u_{nr-1,1}^{m+2} + \left(2 + \frac{1}{r_y} \right) \cdot u_{nr,1}^{m+2} - u_{nr+1,1}^{m+2} = \left(\frac{1}{r_y} - 2f_y \right) \cdot u_{nr,1}^{m+1} + 2f_y \cdot u_{nr,2}^{m+1} + \frac{s_{nr,1}^{m+1}}{k \cdot e} \cdot \Delta y^2 - ql \cdot f_y \cdot \frac{2\Delta x}{k} \Rightarrow$$

$$-u_{nr-1,1}^{m+2} + \left(2 + \frac{1}{r_y} \right) \cdot u_{nr,1}^{m+2} - \left(u_{nr-1,1}^{m+2} - qt \cdot \frac{2\Delta y}{k} \right) = \left(\frac{1}{r_y} - 2f_y \right) \cdot u_{nr,1}^{m+1} + 2f_y \cdot u_{nr,2}^{m+1} + \frac{s_{nr,1}^{m+1}}{k \cdot e} \cdot \Delta y^2 - ql \cdot f_y \cdot \frac{2\Delta x}{k} \Rightarrow$$

$$(i=nr) \quad (j=1) \rightarrow -2u_{nr-1,1}^{m+2} + \left(2 + \frac{1}{r_y} \right) \cdot u_{nr,1}^{m+2} = \left(\frac{1}{r_y} - 2f_y \right) \cdot u_{nr,1}^{m+1} + 2f_y \cdot u_{nr,2}^{m+1} + \frac{s_{nr,1}^{m+1}}{k \cdot e} \cdot \Delta y^2 - ql \cdot f_y \cdot \frac{2\Delta x}{k} - qt \cdot \frac{2\Delta y}{k}$$

2.2.2.2.3 – Condição de contorno de troca de calor por convecção no bordo superior

$$qy = -k \cdot \frac{du}{dy} \cdot n_y = ht \cdot (u - ut) \rightarrow -k \cdot \frac{u_{nr+1,1} - u_{nr-1,1}}{2\Delta y} \cdot (+1) = ht \cdot (u_{nr,1} - ut) \rightarrow u_{nr+1,1} = u_{nr-1,1} - \frac{2\Delta y \cdot ht}{k} \cdot u_{nr,1} + \frac{2\Delta y \cdot ht}{k} \cdot ut \Rightarrow$$

$$-u_{nr-1,1}^{m+2} + \left(2 + \frac{1}{r_y} \right) \cdot u_{nr,1}^{m+2} - \left(u_{nr-1,1}^{m+2} - \frac{2\Delta y \cdot ht}{k} \cdot u_{nr,1}^{m+2} + \frac{2\Delta y \cdot ht}{k} \cdot ut \right) = \left(\frac{1}{r_y} - 2f_y \right) \cdot u_{nr,1}^{m+1} + 2f_y \cdot u_{nr,2}^{m+1} + \frac{s_{nr,1}^{m+1}}{k \cdot e} \cdot \Delta y^2 - ql \cdot f_y \cdot \frac{2\Delta x}{k} \Rightarrow$$

$$(i=nr) \quad (j=1) \rightarrow -2u_{nr-1,1}^{m+2} + \left(2 + \frac{1}{r_y} + \frac{2\Delta y \cdot ht}{k} \right) \cdot u_{nr,1}^{m+2} = \left(\frac{1}{r_y} - 2f_y \right) \cdot u_{nr,1}^{m+1} + 2f_y \cdot u_{nr,2}^{m+1} + \frac{s_{nr,1}^{m+1}}{k \cdot e} \cdot \Delta y^2 - ql \cdot f_y \cdot \frac{2\Delta x}{k} + \frac{2\Delta y \cdot ht}{k} \cdot ut$$

2.2.3 – Condição de contorno de troca de calor por convecção no bordo esquerdo

$$qx = -k \cdot \frac{du}{dx} \cdot n_x = hl \cdot (u - ul) \rightarrow -k \cdot \frac{u_{i,2} - u_{i,0}}{2\Delta x} \cdot (-1) = hl \cdot (u_{i,1} - ul) \rightarrow u_{i,0} = -\frac{2\Delta x \cdot hl}{k} \cdot u_{i,1} + u_{i,2} + \frac{2\Delta x \cdot hl}{k} \cdot ul$$

$$-u_{i-1,1}^{m+2} + \left(2 + \frac{1}{r_y} \right) \cdot u_{i,1}^{m+2} - u_{i+1,1}^{m+2} = f_y \cdot u_{i,0}^{m+1} + \left(\frac{1}{r_y} - 2f_y \right) \cdot u_{i,1}^{m+1} + f_y \cdot u_{i,2}^{m+1} + \frac{s_{i,1}^{m+1}}{k \cdot e} \cdot \Delta y^2 \Rightarrow$$

$$-u_{i-1,1}^{m+2} + \left(2 + \frac{1}{r_y} \right) \cdot u_{i,1}^{m+2} - u_{i+1,1}^{m+2} = f_y \cdot \left(-\frac{2\Delta x \cdot hl}{k} \cdot u_{i,1}^{m+1} + u_{i,2}^{m+1} + \frac{2\Delta x \cdot hl}{k} \cdot ul \right) + \left(\frac{1}{r_y} - 2f_y \right) \cdot u_{i,1}^{m+1} + f_y \cdot u_{i,2}^{m+1} + \frac{s_{i,1}^{m+1}}{k \cdot e} \cdot \Delta y^2 \Rightarrow$$

$$(i=2: nr-1) \quad (j=1) \rightarrow -u_{i-1,1}^{m+2} + \left(2 + \frac{1}{r_y} \right) \cdot u_{i,1}^{m+2} - u_{i+1,1}^{m+2} = \left(\frac{1}{r_y} - 2f_y - f_y \cdot \frac{2\Delta x \cdot hl}{k} \right) \cdot u_{i,1}^{m+1} + 2f_y \cdot u_{i,2}^{m+1} + \frac{s_{i,1}^{m+1}}{k \cdot e} \cdot \Delta y^2 + f_y \cdot \frac{2\Delta x \cdot hl}{k} \cdot ul$$

2.2.3.1 – Condições de contorno no bordo inferior

2.2.3.1.1 – Condição de contorno de temperatura constante prescrita no bordo inferior

$$(i=1) \quad (j=1) \rightarrow u_{1,1} = ub$$

2.2.3.1.2 – Condição de contorno de fluxo de calor radiativo constante prescrito no bordo inferior

$$qy = -k \cdot \frac{du}{dy} \cdot n_y \rightarrow qy_{1,1} \equiv -k \cdot \frac{u_{2,1} - u_{0,1}}{2\Delta y} \cdot (-1) = qb \rightarrow u_{0,1} = u_{2,1} - qb \cdot \frac{2\Delta y}{k}$$

$$-u_{0,1}^{m+2} + \left(2 + \frac{1}{r_y}\right) \cdot u_{1,1}^{m+2} - u_{2,1}^{m+2} = \left(\frac{1}{r_y} - 2f_y - f_y \cdot \frac{2\Delta x \cdot hl}{k}\right) \cdot u_{1,1}^{m+1} + 2f_y \cdot u_{1,2}^{m+1} + \frac{s_{1,1}^{m+1}}{k \cdot e} \cdot \Delta y^2 + f_y \cdot \frac{2\Delta x \cdot hl}{k} \cdot ul \Rightarrow$$

$$-\left(u_{2,1}^{m+2} - qb \cdot \frac{2\Delta y}{k}\right) + \left(2 + \frac{1}{r_y}\right) \cdot u_{1,1}^{m+2} - u_{2,1}^{m+2} = \left(\frac{1}{r_y} - 2f_y - f_y \cdot \frac{2\Delta x \cdot hl}{k}\right) \cdot u_{1,1}^{m+1} + 2f_y \cdot u_{1,2}^{m+1} + \frac{s_{1,1}^{m+1}}{k \cdot e} \cdot \Delta y^2 + f_y \cdot \frac{2\Delta x \cdot hl}{k} \cdot ul \Rightarrow$$

$$(i=1) \quad (j=1) \rightarrow \boxed{\left(2 + \frac{1}{r_y}\right) \cdot u_{1,1}^{m+2} - 2u_{2,1}^{m+2} = \left(\frac{1}{r_y} - 2f_y - f_y \cdot \frac{2\Delta x \cdot hl}{k}\right) \cdot u_{1,1}^{m+1} + 2f_y \cdot u_{1,2}^{m+1} + \frac{s_{1,1}^{m+1}}{k \cdot e} \cdot \Delta y^2 + f_y \cdot \frac{2\Delta x \cdot hl}{k} \cdot ul - qb \cdot \frac{2\Delta y}{k}}$$

2.2.3.1.3 – Condição de contorno de troca de calor por convecção no bordo inferior

$$qy = -k \cdot \frac{du}{dy} \cdot n_y = hb \cdot (u - ub) \rightarrow -k \cdot \frac{u_{2,1} - u_{0,1}}{2\Delta y} \cdot (-1) = hb \cdot (u_{1,1} - ub) \rightarrow u_{0,1} = -\frac{2\Delta y \cdot hb}{k} \cdot u_{1,1} + u_{2,1} + \frac{2\Delta y \cdot hb}{k} \cdot ub \Rightarrow$$

$$-\left(-\frac{2\Delta y \cdot hb}{k} \cdot u_{1,1}^{m+2} + u_{2,1}^{m+2} + \frac{2\Delta y \cdot hb}{k} \cdot ub\right) + \left(2 + \frac{1}{r_y}\right) \cdot u_{1,1}^{m+2} - u_{2,1}^{m+2} = \left(\frac{1}{r_y} - 2f_y - f_y \cdot \frac{2\Delta x \cdot hl}{k}\right) \cdot u_{1,1}^{m+1} + 2f_y \cdot u_{1,2}^{m+1} + \frac{s_{1,1}^{m+1}}{k \cdot e} \cdot \Delta y^2 + f_y \cdot \frac{2\Delta x \cdot hl}{k} \cdot ul \Rightarrow$$

$$(i=1) \quad (j=1) \rightarrow \boxed{\left(2 + \frac{1}{r_y} + \frac{2\Delta y \cdot hb}{k}\right) \cdot u_{1,1}^{m+2} - 2u_{2,1}^{m+2} = \left(\frac{1}{r_y} - 2f_y - f_y \cdot \frac{2\Delta x \cdot hl}{k}\right) \cdot u_{1,1}^{m+1} + 2f_y \cdot u_{1,2}^{m+1} + \frac{s_{1,1}^{m+1}}{k \cdot e} \cdot \Delta y^2 + f_y \cdot \frac{2\Delta x \cdot hl}{k} \cdot ul + \frac{2\Delta y \cdot hb}{k} \cdot ub}$$

2.2.3.2 – Condições de contorno no bordo superior

2.2.3.2.1 – Condição de contorno de temperatura constante prescrita no bordo superior

$$(i=nr) \quad (j=1) \rightarrow \boxed{u_{nr,1} = ut}$$

2.2.3.2.2 – Condição de contorno de fluxo de calor radiativo constante prescrito no bordo superior

$$qy = -k \cdot \frac{du}{dy} \cdot n_y \rightarrow qy_{nr,1} \equiv -k \cdot \frac{u_{nr+1,1} - u_{nr-1,1}}{2\Delta y} \cdot (+1) = qt \rightarrow u_{nr+1,1} = u_{nr-1,1} - qt \cdot \frac{2\Delta y}{k}$$

$$-u_{nr-1,1}^{m+2} + \left(2 + \frac{1}{r_y}\right) \cdot u_{nr,1}^{m+2} - u_{nr+1,1}^{m+2} = \left(\frac{1}{r_y} - 2f_y - f_y \cdot \frac{2\Delta x \cdot hl}{k}\right) \cdot u_{nr,1}^{m+1} + 2f_y \cdot u_{nr,2}^{m+1} + \frac{s_{nr,1}^{m+1}}{k \cdot e} \cdot \Delta y^2 + f_y \cdot \frac{2\Delta x \cdot hl}{k} \cdot ul \Rightarrow$$

$$-u_{nr-1,1}^{m+2} + \left(2 + \frac{1}{r_y}\right) \cdot u_{nr,1}^{m+2} - \left(u_{nr-1,1}^{m+2} - qt \cdot \frac{2\Delta y}{k}\right) = \left(\frac{1}{r_y} - 2f_y - f_y \cdot \frac{2\Delta x \cdot hl}{k}\right) \cdot u_{nr,1}^{m+1} + 2f_y \cdot u_{nr,2}^{m+1} + \frac{s_{nr,1}^{m+1}}{k \cdot e} \cdot \Delta y^2 + f_y \cdot \frac{2\Delta x \cdot hl}{k} \cdot ul \Rightarrow$$

$$(i=nr) \quad (j=1) \rightarrow \boxed{-2u_{nr-1,1}^{m+2} + \left(2 + \frac{1}{r_y}\right) \cdot u_{nr,1}^{m+2} = \left(\frac{1}{r_y} - 2f_y - f_y \cdot \frac{2\Delta x \cdot hl}{k}\right) \cdot u_{nr,1}^{m+1} + 2f_y \cdot u_{nr,2}^{m+1} + \frac{s_{nr,1}^{m+1}}{k \cdot e} \cdot \Delta y^2 + f_y \cdot \frac{2\Delta x \cdot hl}{k} \cdot ul - qt \cdot \frac{2\Delta y}{k}}$$

2.2.3.2.3 – Condição de contorno de troca de calor por convecção no bordo superior

$$qy = -k \cdot \frac{du}{dy} \cdot n_y = ht \cdot (u - ut) \rightarrow -k \cdot \frac{u_{nr+1,1} - u_{nr-1,1}}{2\Delta y} \cdot (+1) = ht \cdot (u_{nr,1} - ut) \rightarrow u_{nr+1,1} = u_{nr-1,1} - \frac{2\Delta y \cdot ht}{k} \cdot u_{nr,1} + \frac{2\Delta y \cdot ht}{k} \cdot ut \Rightarrow$$

$$-u_{nr-1,1}^{m+2} + \left(2 + \frac{1}{r_y}\right) \cdot u_{nr,1}^{m+2} - \left(u_{nr-1,1}^{m+2} - \frac{2\Delta y \cdot ht}{k} \cdot u_{nr,1}^{m+2} + \frac{2\Delta y \cdot ht}{k} \cdot ut\right) = \left(\frac{1}{r_y} - 2f_y - f_y \cdot \frac{2\Delta x \cdot hl}{k}\right) \cdot u_{nr,1}^{m+1} + 2f_y \cdot u_{nr,2}^{m+1} + \frac{s_{nr,1}^{m+1}}{k \cdot e} \cdot \Delta y^2 + f_y \cdot \frac{2\Delta x \cdot hl}{k} \cdot ul \Rightarrow$$

$$(i=nr) \quad (j=1) \rightarrow \boxed{-2u_{nr-1,1}^{m+2} + \left(2 + \frac{1}{r_y} + \frac{2\Delta y \cdot ht}{k}\right) \cdot u_{nr,1}^{m+2} = \left(\frac{1}{r_y} - 2f_y - f_y \cdot \frac{2\Delta x \cdot hl}{k}\right) \cdot u_{nr,1}^{m+1} + 2f_y \cdot u_{nr,2}^{m+1} + \frac{s_{nr,1}^{m+1}}{k \cdot e} \cdot \Delta y^2 + f_y \cdot \frac{2\Delta x \cdot hl}{k} \cdot ul + \frac{2\Delta y \cdot ht}{k} \cdot ut}$$

2.3 – Solução da coluna da direita ($j = nc$)

2.3.1 – Condição de contorno de temperatura constante prescrita no bordo direito

$$(i=1 : nr) \quad (j=nc) \rightarrow \boxed{u_{i,nc} = ur}$$

2.3.2 – Condição de contorno de fluxo de calor radiativo constante prescrito no bordo direito

$$qx = -k \cdot \frac{du}{dx} \cdot n_x \rightarrow qx_{i,nc} \equiv -k \cdot \frac{u_{i,nc+1} - u_{i,nc-1}}{2\Delta x} \cdot (+1) = qr \rightarrow u_{i,nc+1} = u_{i,nc-1} - qr \cdot \frac{2\Delta x}{k}$$

$$\begin{aligned}
-u_{i-1,nc}^{m+2} + \left(2 + \frac{1}{r_y}\right) \cdot u_{i,nc}^{m+2} - u_{i+1,nc}^{m+2} &= f_y \cdot u_{i,nc-1}^{m+1} + \left(\frac{1}{r_y} - 2f_y\right) \cdot u_{i,nc}^{m+1} + f_y \cdot u_{i,nc+1}^{m+1} + \frac{s_{i,nc}^{m+1}}{k \cdot e} \cdot \Delta y^2 \Rightarrow \\
-u_{i-1,nc}^{m+2} + \left(2 + \frac{1}{r_y}\right) \cdot u_{i,nc}^{m+2} - u_{i+1,nc}^{m+2} &= f_y \cdot u_{i,nc-1}^{m+1} + \left(\frac{1}{r_y} - 2f_y\right) \cdot u_{i,nc}^{m+1} + f_y \cdot \left(u_{i,nc-1}^{m+1} - qr \cdot \frac{2\Delta x}{k}\right) + \frac{s_{i,nc}^{m+1}}{k \cdot e} \cdot \Delta y^2 \Rightarrow \\
(i = 2 : nr - 1) \quad (j = nc) \rightarrow & \boxed{-u_{i-1,nc}^{m+2} + \left(2 + \frac{1}{r_y}\right) \cdot u_{i,nc}^{m+2} - u_{i+1,nc}^{m+2} = 2f_y \cdot u_{i,nc-1}^{m+1} + \left(\frac{1}{r_y} - 2f_y\right) \cdot u_{i,nc}^{m+1} + \frac{s_{i,nc}^{m+1}}{k \cdot e} \cdot \Delta y^2 - qr \cdot f_y \cdot \frac{2\Delta x}{k}}
\end{aligned}$$

2.3.2.1 – Condições de contorno no bordo inferior

2.3.2.1.1 – Condição de contorno de temperatura constante prescrita no bordo inferior

$$(i = 1) \quad (j = nc) \rightarrow \boxed{u_{1,nc} = ub}$$

2.3.2.1.2 – Condição de contorno de fluxo de calor radiativo constante prescrito no bordo inferior

$$\begin{aligned}
qy = -k \cdot \frac{du}{dy} \cdot n_y \rightarrow qy_{1,nc} \equiv -k \cdot \frac{u_{2,nc} - u_{0,nc}}{2\Delta y} \cdot (-1) = qb \rightarrow u_{0,nc} = u_{2,nc} - qb \cdot \frac{2\Delta y}{k} \\
-u_{0,nc}^{m+2} + \left(2 + \frac{1}{r_y}\right) \cdot u_{1,nc}^{m+2} - u_{2,nc}^{m+2} = 2f_y \cdot u_{1,nc-1}^{m+1} + \left(\frac{1}{r_y} - 2f_y\right) \cdot u_{1,nc}^{m+1} + \frac{s_{1,nc}^{m+1}}{k \cdot e} \cdot \Delta y^2 - qr \cdot f_y \cdot \frac{2\Delta x}{k} \Rightarrow \\
-\left(u_{2,nc}^{m+2} - qb \cdot \frac{2\Delta y}{k}\right) + \left(2 + \frac{1}{r_y}\right) \cdot u_{1,nc}^{m+2} - u_{2,nc}^{m+2} = 2f_y \cdot u_{1,nc-1}^{m+1} + \left(\frac{1}{r_y} - 2f_y\right) \cdot u_{1,nc}^{m+1} + \frac{s_{1,nc}^{m+1}}{k \cdot e} \cdot \Delta y^2 - qr \cdot f_y \cdot \frac{2\Delta x}{k} \Rightarrow \\
(i = 1) \quad (j = nc) \rightarrow \boxed{\left(2 + \frac{1}{r_y}\right) \cdot u_{1,nc}^{m+2} - 2u_{2,nc}^{m+2} = 2f_y \cdot u_{1,nc-1}^{m+1} + \left(\frac{1}{r_y} - 2f_y\right) \cdot u_{1,nc}^{m+1} + \frac{s_{1,nc}^{m+1}}{k \cdot e} \cdot \Delta y^2 - qr \cdot f_y \cdot \frac{2\Delta x}{k} - qb \cdot \frac{2\Delta y}{k}}
\end{aligned}$$

2.3.2.1.3 – Condição de contorno de troca de calor por convecção no bordo inferior

$$\begin{aligned}
qy = -k \cdot \frac{du}{dy} \cdot n_y = hb \cdot (u - ub) \rightarrow -k \cdot \frac{u_{2,nc} - u_{0,nc}}{2\Delta y} \cdot (-1) = hb \cdot (u_{1,nc} - ub) \rightarrow u_{0,nc} = -\frac{2\Delta y \cdot hb}{k} \cdot u_{1,nc} + u_{2,nc} + \frac{2\Delta y \cdot hb}{k} \cdot ub \Rightarrow \\
-\left(-\frac{2\Delta y \cdot hb}{k} \cdot u_{1,nc}^{m+2} + u_{2,nc}^{m+2} + \frac{2\Delta y \cdot hb}{k} \cdot ub\right) + \left(2 + \frac{1}{r_y}\right) \cdot u_{1,nc}^{m+2} - u_{2,nc}^{m+2} = 2f_y \cdot u_{1,nc-1}^{m+1} + \left(\frac{1}{r_y} - 2f_y\right) \cdot u_{1,nc}^{m+1} + \frac{s_{1,nc}^{m+1}}{k \cdot e} \cdot \Delta y^2 - qr \cdot f_y \cdot \frac{2\Delta x}{k} \Rightarrow \\
(i = 1) \quad (j = nc) \rightarrow \boxed{\left(2 + \frac{1}{r_y} + \frac{2\Delta y \cdot hb}{k}\right) \cdot u_{1,nc}^{m+2} - 2u_{2,nc}^{m+2} = 2f_y \cdot u_{1,nc-1}^{m+1} + \left(\frac{1}{r_y} - 2f_y\right) \cdot u_{1,nc}^{m+1} + \frac{s_{1,nc}^{m+1}}{k \cdot e} \cdot \Delta y^2 - qr \cdot f_y \cdot \frac{2\Delta x}{k} + \frac{2\Delta y \cdot hb}{k} \cdot ub}
\end{aligned}$$

2.3.2.2 – Condições de contorno no bordo superior

2.3.2.2.1 – Condição de contorno de temperatura constante prescrita no bordo superior

$$(i = nr) \quad (j = nc) \rightarrow \boxed{u_{nr,nc} = ut}$$

2.3.2.2.2 – Condição de contorno de fluxo de calor radiativo constante prescrito no bordo superior

$$\begin{aligned}
qy = -k \cdot \frac{du}{dy} \cdot n_y \rightarrow qy_{nr,nc} \equiv -k \cdot \frac{u_{nr+1,nc} - u_{nr-1,nc}}{2\Delta y} \cdot (+1) = qt \rightarrow u_{nr+1,nc} = u_{nr-1,nc} - qt \cdot \frac{2\Delta y}{k} \\
-u_{nr-1,nc}^{m+2} + \left(2 + \frac{1}{r_y}\right) \cdot u_{nr,nc}^{m+2} - u_{nr+1,nc}^{m+2} = 2f_y \cdot u_{nr,nc-1}^{m+1} + \left(\frac{1}{r_y} - 2f_y\right) \cdot u_{nr,nc}^{m+1} + \frac{s_{nr,nc}^{m+1}}{k \cdot e} \cdot \Delta y^2 - qr \cdot f_y \cdot \frac{2\Delta x}{k} \Rightarrow \\
-u_{nr-1,nc}^{m+2} + \left(2 + \frac{1}{r_y}\right) \cdot u_{nr,nc}^{m+2} - \left(u_{nr-1,nc}^{m+2} - qt \cdot \frac{2\Delta y}{k}\right) = 2f_y \cdot u_{nr,nc-1}^{m+1} + \left(\frac{1}{r_y} - 2f_y\right) \cdot u_{nr,nc}^{m+1} + \frac{s_{nr,nc}^{m+1}}{k \cdot e} \cdot \Delta y^2 - qr \cdot f_y \cdot \frac{2\Delta x}{k} \Rightarrow \\
(i = nr) \quad (j = nc) \rightarrow \boxed{-2u_{nr-1,nc}^{m+2} + \left(2 + \frac{1}{r_y}\right) \cdot u_{nr,nc}^{m+2} = 2f_y \cdot u_{nr,nc-1}^{m+1} + \left(\frac{1}{r_y} - 2f_y\right) \cdot u_{nr,nc}^{m+1} + \frac{s_{nr,nc}^{m+1}}{k \cdot e} \cdot \Delta y^2 - qr \cdot f_y \cdot \frac{2\Delta x}{k} - qt \cdot \frac{2\Delta y}{k}}
\end{aligned}$$

2.3.2.2.3 – Condição de contorno de troca de calor por convecção no bordo superior

$$qy = -k \cdot \frac{du}{dy} \cdot n_y = ht \cdot (u - ut) \rightarrow -k \cdot \frac{u_{nr+1,nc} - u_{nr-1,nc}}{2\Delta y} \cdot (+1) = ht \cdot (u_{nr,nc} - ut) \rightarrow u_{nr+1,nc} = u_{nr-1,nc} - \frac{2\Delta y \cdot ht}{k} \cdot u_{nr,nc} + \frac{2\Delta y \cdot ht}{k} \cdot ut \Rightarrow$$

$$-u_{nr-1,nc}^{m+2} + \left(2 + \frac{1}{r_y}\right) \cdot u_{nr,nc}^{m+2} - \left(u_{nr-1,nc}^{m+2} - \frac{2\Delta y \cdot ht}{k} \cdot u_{nr,nc}^{m+2} + \frac{2\Delta y \cdot ht}{k} \cdot ut\right) = 2f_y \cdot u_{nr,nc-1}^{m+1} + \left(\frac{1}{r_y} - 2f_y\right) \cdot u_{nr,nc}^{m+1} + \frac{s_{nr,nc}^{m+1}}{k \cdot e} \cdot \Delta y^2 - qr \cdot f_y \cdot \frac{2\Delta x}{k} \Rightarrow$$

$$(i=nr) \quad (j=nc) \rightarrow -2u_{nr-1,nc}^{m+2} + \left(2 + \frac{1}{r_y} + \frac{2\Delta y \cdot ht}{k}\right) \cdot u_{nr,nc}^{m+2} = 2f_y \cdot u_{nr,nc-1}^{m+1} + \left(\frac{1}{r_y} - 2f_y\right) \cdot u_{nr,nc}^{m+1} + \frac{s_{nr,nc}^{m+1}}{k \cdot e} \cdot \Delta y^2 - qr \cdot f_y \cdot \frac{2\Delta x}{k} + \frac{2\Delta y \cdot ht}{k} \cdot ut$$

2.3.3 – Condição de contorno de troca de calor por convecção no bordo direito

$$qx = -k \cdot \frac{du}{dx} \cdot n_x = hr \cdot (u - ur) \rightarrow -k \cdot \frac{u_{i,nc+1} - u_{i,nc-1}}{2\Delta x} \cdot (+1) = hr \cdot (u_{i,nc} - ur) \rightarrow u_{i,nc+1} = u_{i,nc-1} - \frac{2\Delta x \cdot hr}{k} \cdot u_{i,nc} + \frac{2\Delta x \cdot hr}{k} \cdot ur$$

$$-u_{i-1,nc}^{m+2} + \left(2 + \frac{1}{r_y}\right) \cdot u_{i,nc}^{m+2} - u_{i+1,nc}^{m+2} = f_y \cdot u_{i,nc-1}^{m+1} + \left(\frac{1}{r_y} - 2f_y\right) \cdot u_{i,nc}^{m+1} + f_y \cdot u_{i,nc+1}^{m+1} + \frac{s_{i,nc}^{m+1}}{k \cdot e} \cdot \Delta y^2 \Rightarrow$$

$$-u_{i-1,nc}^{m+2} + \left(2 + \frac{1}{r_y}\right) \cdot u_{i,nc}^{m+2} - u_{i+1,nc}^{m+2} = f_y \cdot u_{i,nc-1}^{m+1} + \left(\frac{1}{r_y} - 2f_y\right) \cdot u_{i,nc}^{m+1} + f_y \cdot \left(u_{i,nc-1}^{m+1} - \frac{2\Delta x \cdot hr}{k} \cdot u_{i,nc}^{m+1} + \frac{2\Delta x \cdot hr}{k} \cdot ur\right) + \frac{s_{i,nc}^{m+1}}{k \cdot e} \cdot \Delta y^2 \Rightarrow$$

$$(i=2:nr-1) \quad (j=nc) \rightarrow -u_{i-1,nc}^{m+2} + \left(2 + \frac{1}{r_y}\right) \cdot u_{i,nc}^{m+2} - u_{i+1,nc}^{m+2} = 2f_y \cdot u_{i,nc-1}^{m+1} + \left(\frac{1}{r_y} - 2f_y - f_y \cdot \frac{2\Delta x \cdot hr}{k}\right) \cdot u_{i,nc}^{m+1} + \frac{s_{i,nc}^{m+1}}{k \cdot e} \cdot \Delta y^2 + f_y \cdot \frac{2\Delta x \cdot hr}{k} \cdot ur$$

2.3.3.1 – Condições de contorno no bordo inferior

2.3.3.1.1 – Condição de contorno de temperatura constante prescrita no bordo inferior

$$(i=1) \quad (j=nc) \rightarrow u_{1,nc} = ub$$

2.3.3.1.2 – Condição de contorno de fluxo de calor radiativo constante prescrito no bordo inferior

$$qy = -k \cdot \frac{du}{dy} \cdot n_y \rightarrow qy_{1,nc} \equiv -k \cdot \frac{u_{2,nc} - u_{0,nc}}{2\Delta y} \cdot (-1) = qb \rightarrow u_{0,nc} = u_{2,nc} - qb \cdot \frac{2\Delta y}{k}$$

$$-u_{0,nc}^{m+2} + \left(2 + \frac{1}{r_y}\right) \cdot u_{1,nc}^{m+2} - u_{2,nc}^{m+2} = 2f_y \cdot u_{1,nc-1}^{m+1} + \left(\frac{1}{r_y} - 2f_y - f_y \cdot \frac{2\Delta x \cdot hr}{k}\right) \cdot u_{1,nc}^{m+1} + \frac{s_{1,nc}^{m+1}}{k \cdot e} \cdot \Delta y^2 + f_y \cdot \frac{2\Delta x \cdot hr}{k} \cdot ur \Rightarrow$$

$$-\left(u_{2,nc}^{m+2} - qb \cdot \frac{2\Delta y}{k}\right) + \left(2 + \frac{1}{r_y}\right) \cdot u_{1,nc}^{m+2} - u_{2,nc}^{m+2} = 2f_y \cdot u_{1,nc-1}^{m+1} + \left(\frac{1}{r_y} - 2f_y - f_y \cdot \frac{2\Delta x \cdot hr}{k}\right) \cdot u_{1,nc}^{m+1} + \frac{s_{1,nc}^{m+1}}{k \cdot e} \cdot \Delta y^2 + f_y \cdot \frac{2\Delta x \cdot hr}{k} \cdot ur \Rightarrow$$

$$(i=1) \quad (j=nc) \rightarrow \left(2 + \frac{1}{r_y}\right) \cdot u_{1,nc}^{m+2} - 2u_{2,nc}^{m+2} = 2f_y \cdot u_{1,nc-1}^{m+1} + \left(\frac{1}{r_y} - 2f_y - f_y \cdot \frac{2\Delta x \cdot hr}{k}\right) \cdot u_{1,nc}^{m+1} + \frac{s_{1,nc}^{m+1}}{k \cdot e} \cdot \Delta y^2 + f_y \cdot \frac{2\Delta x \cdot hr}{k} \cdot ur - qb \cdot \frac{2\Delta y}{k}$$

2.3.3.1.3 – Condição de contorno de troca de calor por convecção no bordo inferior

$$qy = -k \cdot \frac{du}{dy} \cdot n_y = hb \cdot (u - ub) \rightarrow -k \cdot \frac{u_{2,nc} - u_{0,nc}}{2\Delta y} \cdot (-1) = hb \cdot (u_{1,nc} - ub) \rightarrow u_{0,nc} = -\frac{2\Delta y \cdot hb}{k} \cdot u_{1,nc} + u_{2,nc} + \frac{2\Delta y \cdot hb}{k} \cdot ub \Rightarrow$$

$$-\left(-\frac{2\Delta y \cdot hb}{k} \cdot u_{1,nc}^{m+2} + u_{2,nc}^{m+2} + \frac{2\Delta y \cdot hb}{k} \cdot ub\right) + \left(2 + \frac{1}{r_y}\right) \cdot u_{1,nc}^{m+2} - u_{2,nc}^{m+2} = 2f_y \cdot u_{1,nc-1}^{m+1} + \left(\frac{1}{r_y} - 2f_y - f_y \cdot \frac{2\Delta x \cdot hr}{k}\right) \cdot u_{1,nc}^{m+1} + \frac{s_{1,nc}^{m+1}}{k \cdot e} \cdot \Delta y^2 + f_y \cdot \frac{2\Delta x \cdot hr}{k} \cdot ur \Rightarrow$$

$$(i=1) \quad (j=nc) \rightarrow \left(2 + \frac{1}{r_y} + \frac{2\Delta y \cdot hb}{k}\right) \cdot u_{1,nc}^{m+2} - 2u_{2,nc}^{m+2} = 2f_y \cdot u_{1,nc-1}^{m+1} + \left(\frac{1}{r_y} - 2f_y - f_y \cdot \frac{2\Delta x \cdot hr}{k}\right) \cdot u_{1,nc}^{m+1} + \frac{s_{1,nc}^{m+1}}{k \cdot e} \cdot \Delta y^2 + f_y \cdot \frac{2\Delta x \cdot hr}{k} \cdot ur + \frac{2\Delta y \cdot hb}{k} \cdot ub$$

2.3.3.2 – Condições de contorno no bordo superior

2.3.3.2.1 – Condição de contorno de temperatura constante prescrita no bordo superior

$$(i=nr) \quad (j=nc) \rightarrow u_{nr,nc} = ut$$

2.3.3.2.2 – Condição de contorno de fluxo de calor radiativo constante prescrito no bordo superior

$$qy = -k \cdot \frac{du}{dy} \cdot n_y \rightarrow qy_{nr,nc} \equiv -k \cdot \frac{u_{nr+1,nc} - u_{nr-1,nc}}{2\Delta y} \cdot (+1) = qt \rightarrow u_{nr+1,nc} = u_{nr-1,nc} - qt \cdot \frac{2\Delta y}{k}$$

$$-u_{nr-1,nc}^{m+2} + \left(2 + \frac{1}{r_y}\right) \cdot u_{nr,nc}^{m+2} - u_{nr+1,nc}^{m+2} = 2f_y \cdot u_{nr,nc-1}^{m+1} + \left(\frac{1}{r_y} - 2f_y - f_y \cdot \frac{2\Delta x \cdot hr}{k}\right) \cdot u_{nr,nc}^{m+1} + \frac{s_{nr,nc}^{m+1}}{k \cdot e} \cdot \Delta y^2 + f_y \cdot \frac{2\Delta x \cdot hr}{k} \cdot ur \Rightarrow$$

$$-u_{nr-1,nc}^{m+2} + \left(2 + \frac{1}{r_y}\right) \cdot u_{nr,nc}^{m+2} - \left(u_{nr-1,nc}^{m+2} - qt \cdot \frac{2\Delta y}{k}\right) = 2f_y \cdot u_{nr,nc-1}^{m+1} + \left(\frac{1}{r_y} - 2f_y - f_y \cdot \frac{2\Delta x \cdot hr}{k}\right) \cdot u_{nr,nc}^{m+1} + \frac{s_{nr,nc}^{m+1}}{k \cdot e} \cdot \Delta y^2 + f_y \cdot \frac{2\Delta x \cdot hr}{k} \cdot ur \Rightarrow$$

$$(i=nr) \quad (j=nc) \rightarrow -2u_{nr-1,nc}^{m+2} + \left(2 + \frac{1}{r_y}\right) \cdot u_{nr,nc}^{m+2} = 2f_y \cdot u_{nr,nc-1}^{m+1} + \left(\frac{1}{r_y} - 2f_y - f_y \cdot \frac{2\Delta x \cdot hr}{k}\right) \cdot u_{nr,nc}^{m+1} + \frac{s_{nr,nc}^{m+1}}{k \cdot e} \cdot \Delta y^2 + f_y \cdot \frac{2\Delta x \cdot hr}{k} \cdot ur - qt \cdot \frac{2\Delta y}{k}$$

2.3.3.2.3 – Condição de contorno de troca de calor por convecção no bordo superior

$$qy = -k \cdot \frac{du}{dy} \cdot n_y = ht \cdot (u - ut) \rightarrow -k \cdot \frac{u_{nr+1,nc} - u_{nr-1,nc}}{2\Delta y} \cdot (+1) = ht \cdot (u_{nr,nc} - ut) \rightarrow u_{nr+1,nc} = u_{nr-1,nc} - \frac{2\Delta y \cdot ht}{k} \cdot u_{nr,nc} + \frac{2\Delta y \cdot ht}{k} \cdot ut \Rightarrow$$

$$-u_{nr-1,nc}^{m+2} + \left(2 + \frac{1}{r_y}\right) \cdot u_{nr,nc}^{m+2} - \left(u_{nr-1,nc}^{m+2} - \frac{2\Delta y \cdot ht}{k} \cdot u_{nr,nc}^{m+2} + \frac{2\Delta y \cdot ht}{k} \cdot ut\right) = 2f_y \cdot u_{nr,nc-1}^{m+1} + \left(\frac{1}{r_y} - 2f_y - f_y \cdot \frac{2\Delta x \cdot hr}{k}\right) \cdot u_{nr,nc}^{m+1} + \frac{s_{nr,nc}^{m+1}}{k \cdot e} \cdot \Delta y^2 + f_y \cdot \frac{2\Delta x \cdot hr}{k} \cdot ur \Rightarrow$$

$$(i=nr) \quad (j=nc) \rightarrow -2u_{nr-1,nc}^{m+2} + \left(2 + \frac{1}{r_y} + \frac{2\Delta y \cdot ht}{k}\right) \cdot u_{nr,nc}^{m+2} = 2f_y \cdot u_{nr,nc-1}^{m+1} + \left(\frac{1}{r_y} - 2f_y - f_y \cdot \frac{2\Delta x \cdot hr}{k}\right) \cdot u_{nr,nc}^{m+1} + \frac{s_{nr,nc}^{m+1}}{k \cdot e} \cdot \Delta y^2 + f_y \cdot \frac{2\Delta x \cdot hr}{k} \cdot ur + \frac{2\Delta y \cdot ht}{k} \cdot ut$$